

Передмова

Даний атлас з деталей машин є частиною навчального комплексу для організації курсового проектування студентів механічних фахів вузів із застосуванням AutoCAD. До комплексу входять курс лекцій з деталей машин та CD-ROM, на якому містяться всі креслення, наведені в атласі, каталог електродвигунів і приклад виконання розрахунково-пояснюальної записки.

Атлас має чотири розділи: загальні питання курсового проектування, проектування механічних передач і опорних вузлів, конструкції зубчастих редукторів, робочі креслення деталей машин.

У атласі викладена методика виконання курсових проектів і є необхідний довідковий матеріал для самостійної роботи студентів над проектом.

На кафедрі теорії механізмів і машинознавства накопичений значний досвід в організації курсового проектування, у тому числі із застосуванням AutoCAD. З урахуванням реального рівня владіння AutoCAD студентами третього курсу виконання креслень на ЕОМ підвищує трудомісткість курсового проектування в 2-3 рази. Тому організація курсового проектування з використанням AutoCAD докорінно відрізня-

ється від традиційної. Необхідно звільнити студента від великого обсягу роботи з кресленням конструкції, а замість цього основну увагу приділити аналізу і опрацюванню різних варіантів конструкції з метою зниження габаритів, маси і підвищення ККД редуктору, приводу.

У якості вхідних даних студента, поряд із параметрами і схемою приводу, видається дискета з файлом креслення прототипу проектированого редуктора. На диску CD-ROM, що додається, наведені всі основні схеми типажних редукторів. Після виконання кінематичного розрахунку, розрахунків передач на міцність і перевірки підшипників на динамічну довготривалість, відповідно до розділу II, студент вносить необхідні зміни в креслення прототипу. Потім відповідно до отриманого завдання докладно проробляються питання зниження габаритів і маси редуктору за рахунок оптимальної розбивки передатного відношення, підвищення твердості робочих поверхонь зубів або підвищення жорсткості опорних вузлів.

Тут повною мірою виявляються переваги курсового проектування з використанням AutoCAD. Зміни, з урахуванням проведених розрахунків, не вимагають нового прорисування всього креслення, що

дозволяє проробити 3-4 варіанти конструкції редуктору і вибрати найкращий. Ще великі можливості відкриваються при розгляді різних варіантів приводу. Студенти мають можливість (використовуючи наявний на диску каталог електродвигунів) накреслити 4-6 варіантів конструкції приводу, що відповідають електродвигунам із різною частотою обертання, змінювати просторове положення редуктора й електродвигуна, використовуючи різні варіанти кріплення останнього.

Відповідно до завдання на курсове проектування студент виконує робоче креслення корпусу, кришки редуктору або зварної рами, а також робочі креслення типових деталей. Такий обсяг можливий тому, що креслення деталей не прорисовують наново, а копіюють з остаточних варіантів креслення редуктору та приводу, і трудомісткість креслярської роботи зменшується. Це дозволяє більше уваги приділити оформленню креслення: вдумливому представлению розмірів, вибору граничних відхилень і шорсткостей з урахуванням ймовірної технології виготовлення, опрацювання технічних вимог і таблиць параметрів зачеплення для деталей, які мають зубчастий вінець.

Курсове проектування з використанням AutoCAD змінює

увалення про обсяг курсового проектування. З урахуванням розглянутих варіантів редуктору і приводу студент може виконати 10-11 креслень, що звичайно прийнято креслити на 7-8 листах формату А1. Друкувати таке число листів на плотарі недоцільно з економічних міркувань. Надруковані на принтері у форматі А4 креслення не завжди читаються. Найбільш доцільно друкувати на плотарі лише найкращі варіанти конструкцій редуктору і приводу, а також креслення корпуса і рами. Замість формату А1 можна використовувати формат А2 або А3, деталі виконують на форматі А4. Доцільно роздруковувати кожну проекцію редуктору, приводу на окремому аркуші у вигляді окремого креслення. Жорстких вимог щодо кількості листів не встановлюється. Звичайно проект включає 1-2 листи формату А2, 1-2 листи формату А3 та 4 листи формату А4. Листи підшивають до записки. Розрахунково-пояснювальна записка студентами оформляється в текстовому редакторі WORD з використанням зразка записки, що міститься на CD-ROM.

Для організації самостійної роботи студентів над проектом велику увагу необхідно приділити конструктивній різноманітності проектуваних редукторів і приводів.

У атласі наведені можливі варіанти завдань на курсове проектування. Поряд із схемами типажних редукторів підібрані рідко використовувані, але перспективні схеми редукторів і приводів. Додаткові можливості з опрацювання різних варіантів конструкцій дають пакети інженерного аналізу. Найбільш придатні до використання в навчальному процесі

Mechanical Desktop і Mechsoft. Будова різних пакетів інженерного аналізу ідентична - графічний предпроцесор із можливістю обміну даними з програмами CAD, власне процесор розрахунків на міцність на базі скінчено-елементних моделей і постпроцесор, що вирішує завдання візуалізації, включаючи фотoreалістичну анімацію. Звичайно для проведення розрахунку на міцність раніше було потрібно створення об'ємних твердотілих моделей. Mechanical Desktop розпізнає тривимірні твердотілі моделі і перетворює їх у параметрично описані деталі за допомогою модуля Feature Recognition. Остання версія Mechanical Desktop і Mechsoft орієнтована на імпорт площинних креслень деталей із AutoCAD і перетворення їх у параметричні моделі.

До Mechanical Desktop входить спеціальний модуль

Power Pack, що містить стандартні деталі, профілі стальового прокату і конструктивні елементи відповідно до різних стандартів, серед яких і ДЕРЖСТАНДАРТ. Маса і моменти інерції спроектованих деталей визначаються модулем Power Pack з урахуванням матеріалу. Є база даних матеріалів щодо стандартів ISO, DIN, ДЕРЖСТАНДАРТ та ін.

Найбільш цікавою особливістю розглянутого модуля є можливість генерації параметричних моделей ряду деталей - валів, пружин, кулачків. Параметрична модель вала формується з типових елементів: циліндрів, конусів, зубчастих коліс, різьбових і шліцьових ділянок. Використання стандартних підшипників, кілець, втулок дає змогу одержати параметричну модель складання - підшипниковий вузол.

Модуль Power Pack містить основні інженерні розрахунки з курсу деталей машин: розрахунок болтового з'єднання (включаючи з'єднання з попереднім затягуванням), підшипників, валів, кулачків, пружин, ланцюгових і ремінних передач, а також геометричний розрахунок циліндричних зубчастих передач.

РОЗДІЛ I

Порядок виконання
курсового проекту.
Приклади варіантів
вхідних даних.

**Порядок виконання
курсового проекту**

- Тема **A**
1. Кінематичний розрахунок приводу.
 2. Проектний розрахунок зубчастих передач.
 3. Розрахунок відкритої передачі гнучким зв'язком.
 4. Підготовка ескізного проекту.
 5. Перевірочні розрахунки зубчастих передач.
 6. Розробка альтернативного варіанту конструкції з більш високими (на 15 ... 20%) :
 - a) навантажувальною спроможністю редуктору з циліндричними передачами;
 - b) довготривалістю редуктору з конічною передачею;
 - v) ККД редуктору з черв'ячною передачею;
 7. Уточнений розрахунок вала на витривалість.
 8. Розрахунок підшипників на динамічну довготривалість.
 9. Перевірочний розрахунок муфти.

**Зміст графічної частини
проекту**

Тема **A**

1. Складальне креслення редуктору. Кресляться три проекції редуктору з усіма необхідними розрізами, наводяться технічні характеристики і вказуються технічні вимоги.
2. Робоче креслення корпусної деталі. Виконується робоче креслення картеру або кришки редуктору, що виготовляються зварюванням.
3. Робочі креслення основних деталей приводу. (Вал, вал-шестерня, колесо зубчасте, стакан, кришка підшипника, шків, зірочка). Усього 4 - 5 креслень.
4. Складальне креслення другого варіанту конструкції редуктору. Кресляться дві проекції редуктору з усіма необхідними розрізами, наводяться технічні характеристики і вказуються технічні вимоги.

Кресляться компонування варіантів конструкції редуктору, накладені одна поверх іншої.

**Порядок виконання
курсового проекту**

Тема **Б**

1. Кінематичний розрахунок приводу.
2. Проектний розрахунок зубчастих передач.
3. Розрахунок відкритої передачі гнучким зв'язком.
4. Підготовка ескізного проекту.
5. Перевірочні розрахунки зубчастих передач.
6. Пророблення варіантів конструкції:
 - а) опорних вузлів редуктору з циліндричними передачами;
 - б) конструкції коліс редуктору з конічною передачею;
 - в) системи охолодження редуктору з черв'ячною передачею;
7. Уточнений розрахунок вала на витривалість.
8. Розрахунок підшипників на динамічну довготривалість.
9. Перевірочний розрахунок муфти

**Зміст графічної частини
проекту**

Тема **Б**

1. Складальне креслення редуктора. Кресляться три проекції редуктору з усіма необхідними розрізами, наводяться технічні характеристики і вказуються технічні вимоги.
2. Робоче креслення корпусної деталі. Виконується робоче креслення картеру або кришки редуктору, що виготовляються зварюванням.
3. Складальні креслення варіантів конструкцій опорного вузла (для циліндричних редукторів). Робочі креслення варіантів конструкцій коліс (для циліндро-конічних редукторів). Робочі креслення варіантів конструкції корпусу (для черв'ячних редукторів). Усього 4 – 5 креслень.
4. Креслення загального виду приводу або другий варіант пророблення конструкції редуктору

**Порядок виконання
курсового проекту**

Тема **B**

1. Кінематичний розрахунок приводу.
2. Проектний розрахунок зубчастих передач.
3. Розрахунок відкритої передачі гнучким зв'язком.
4. Підготовка ескізного проекту.
5. Розрахунок підшипників на динамічну довготривалість.
6. Уточнений розрахунок вала на витривалість.
7. Перевірочний розрахунок муфти на швидкохідному валу редуктору.
8. Кінематичний розрахунок приводу з відкритою зубчастою передачею на вихідному валу редуктору замість передачі гнучким зв'язком.
9. Розрахунок відкритої зубчастої передачі. При необхідності проектний розрахунок передач редуктору.
10. Перевірочний розрахунок муфти на тихохідному валу редуктору.
11. Порівняльний аналіз компонувань двох варіантів приводу.

**Зміст графічної частини
проекту**

Тема **B**

1. Складальне креслення редуктору. Кресляться три проекції редуктору з усіма необхідними розрізами, наводяться технічні характеристики і вказуються технічні вимоги.
2. Креслення загального виду приводу. Кресляться три проекції приводу, вказуються технічні характеристики і наводяться технічні вимоги. Проробляється конструкція рами. Кресляться необхідні перетини і місцеві види.
3. Робочі креслення основних деталей приводу. (Вал, вал-шестерня, колесо зубчасте, стакан, кришка підшипника, шків, зірочка). Усього 4 – 5 креслень.
4. Креслення загального виду альтернативного варіанта приводу. Кресляться дві проекції приводу, вказуються технічні характеристики і наводяться технічні вимоги. Розробляється і креслиться конструкція рами.

Зміст розрахунково-пояснювальної записки

1. *Титульний лист.*
2. *Вихідні дані.*
3. *Зміст.*
4. *Кінематичний розрахунок приводу.* Наводиться кінематична схема приводу з позначенням усіх валів і елементів передач. Визначаються потужності, частоти обертання, кутові швидкості й обертові моменти для кожного вала приводу.
5. *Розрахунок зубчастих передач.* Наводяться вихідні дані для розрахунку, обирають матеріал зубчастих коліс і вид термообробки, виконується розрахунок припустимих напруг, визначаються геометричні розміри зубчастих коліс, виконуються перевірочні розрахунки передачі.
6. *Розрахунок відкритих передач.* Наводяться вихідні дані для розрахунку, вибір характеристик елементів передачі, визначення припустимих параметрів, визначення геометричних параметрів передачі, перевірочні розрахунки.
7. *Підготовання ескізного проекту.* Для кожного валу приводу наводиться орієнтовний розрахунок його діаметру, і призначаються діаметри всіх ділянок вала, обирається тип підшипників і схема їхньої установки.
8. *Визначаються конструктивні розміри елементів корпусу редуктору, відстані між елементами приводу.* Вибирається спосіб виготовлення заготовок окремих деталей, розміри дисків, ободів, з'єднань вал-маточина, вихідних ділянок валів. Обирається система змащування передач і відповідний мастильний матеріал.
9. *Перевірочні розрахунки.* Наводяться уточнений розрахунок валу на втомну міцність (вал для розрахунку обирається за узгодженням із викладачем), розрахунок підшипників на довготривалість, розрахунки з'єднань вал-маточина і муфти. Інші необхідні розрахунки.
10. *Література.*
11. *ДОДАТКИ.* Специфікації на складальні креслення, ескізне опрацювання.

Варіанти циклограм навантаження приводу

Таблиця 1.1

№	Назва режиму і номер за малюнком	T_2/T_{max}	T_3/T_{max}	L_{h2}/L_h	L_{h3}/L_h
1	Постійний 1	0	0	1.0	0
2	Важкий 2	0	0.3	0.5	0
3		0.8	0.4	0.3	0.4
4	Середній рівновомір- ний 3	0	0.2	0.25	0
5		0.6	0.2	0.15	0.45
6	Середній нормальній 4	0	0.15	0.18	0
7		0.6	0.2	0.1	0.4
8	Легкий 5	0	0.15	0.125	0
9		0.5	0.1	0.1	0.2
10	Особливо легкий 6	0	0.1	0.063	0
11		0.4	0.1	0.05	0.25

Типові режими навантаження

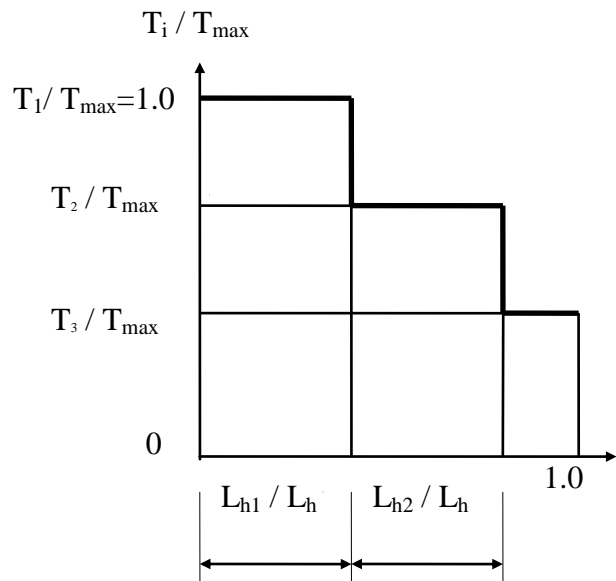


Рис. 1.1

Циклограми навантаження

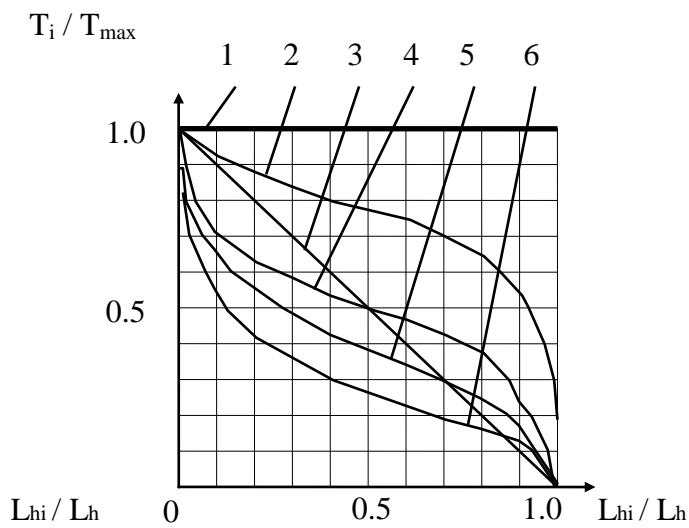


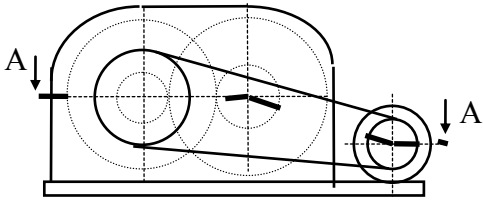
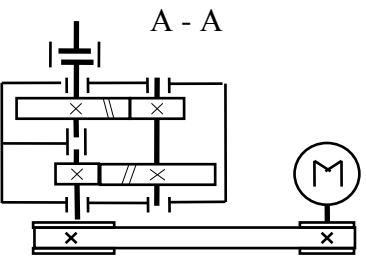
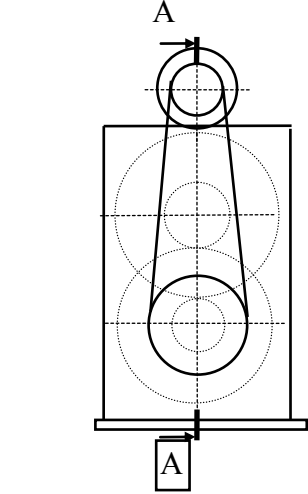
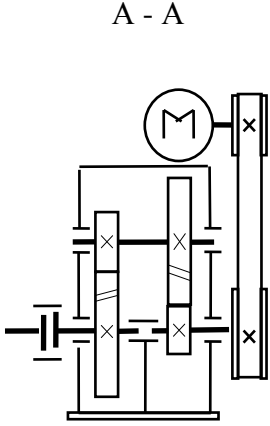
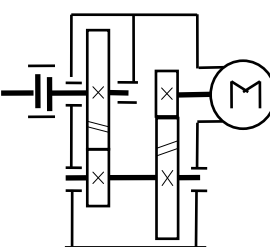
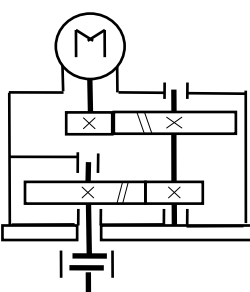
Рис. 1.2.

Кінематичні схеми приводів

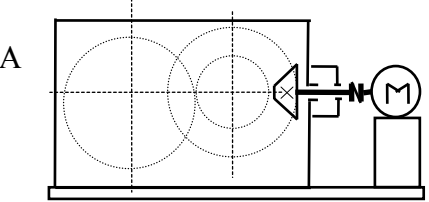
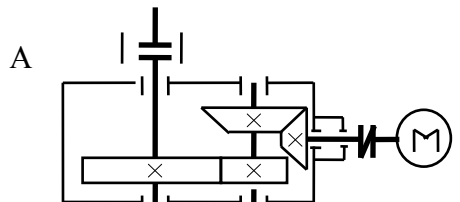
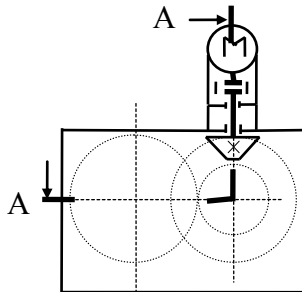
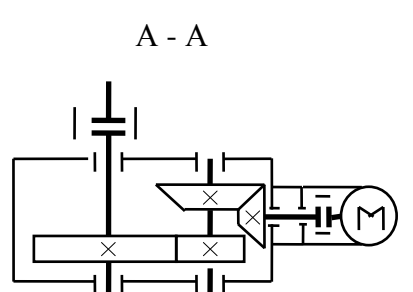
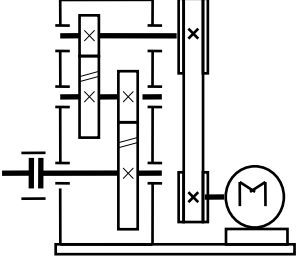
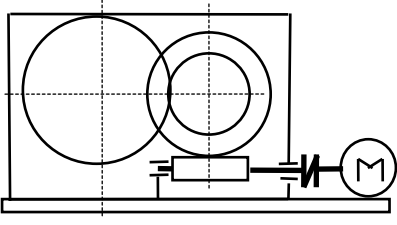
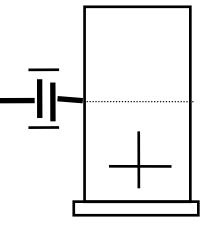
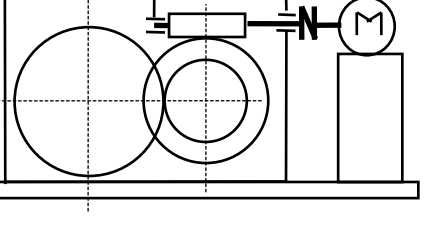
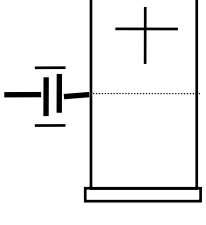
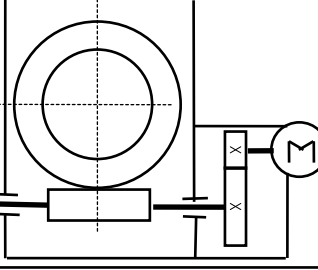
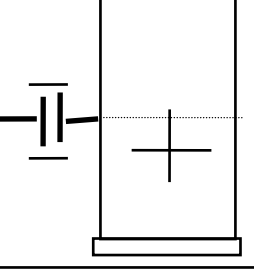
Таблиця 1.2

№	Особливості	Схема	
1	Плоский ремінь		
2	Клиновий ремінь		
3	Зубчастий ремінь		
4	Плоский ремінь		
5	Клиновий ремінь		
6	Зубчастий ремінь		
7	Плоский ремінь		
8	Клиновий ремінь		
9	Зубчастий ремінь		
10	Всі ступені прямозубі		
11	Всі ступені косозубі		
12	1 ступінь косозубий		
13	2 ступінь косозубий		
14	Плоский ремінь		
15	Клиновий ремінь		
16	Зубчастий ремінь		
17	Плоский ремінь		
18	Клиновий ремінь		
19	Зубчастий ремінь		

Продовження табл.1.2

№	Особливості	Схема
20	Плоский ремінь	 
21	Клиновий ремінь	
22	Зубчастий ремінь	
23	Плоский ремінь	 
24	Клиновий ремінь	
25	Зубчастий ремінь	
26	Плоский ремінь	
27	Клиновий ремінь	
28	Зубчастий ремінь	
29	Всі ступені прямозубі	
30	Всі ступені косозубі	
31	1 ступінь косозубий	
32	2 ступінь косозубий	
33	Всі ступені прямозубі	
34	Всі ступені косозубі	
35	1 ступінь косозубий	
36	2 ступінь косозубий	

Продовження табл. 1.2

№	Особливості	Схема
37	2 ступінь косозубий	A - A 
38	2 ступінь прямозубий	A - A 
39	2 ступінь косозубий	A - A 
40	2 ступінь прямозубий	A - A 
41	Плоский ремінь	
42	Клиновий ремінь	
43	Зубчастий ремінь	
44	2 ступінь косозубий	
45	2 ступінь прямозубий	
46	2 ступінь косозубий	
47	2 ступінь прямозубий	
48	1 ступінь косозубий	
49	1 ступінь прямозубий	

Варіанти вхідних даних

Таблиця 1.3

№	Момент на вихідному валу приводу $T_{вих}$, Н*м	Частота обертання вихідного валу приводу $n_{вих}$, об/хв	Передатне число редуктору $U_{ред}$	Твердість робочих Поверхонь зубів коліс	Термін служби приводу L_h, тис. годин
1	2000	50	20	250HB	5
2	1500	80	16	290HB	10
3	1000	60	20	48HRC	12
4	750	100	12	290HB	8
5	500	100	16	63HRC	6
6	400	200	10	55HRC	7
7	315	200	12	250HB	5,5
8	250	250	12	290HB	6
9	160	160	10	50HRC	7,5
10	100	200	16	55HRC	10
11	2000	20	50	230HB	14
12	1400	30	32	63HRC	6
13	800	50	25	290HB	7
14	500	80	20	45HRC	9
15	250	120	10	55HRC	10
16	100	80	16	50HRC	12
17	80	50	25	290HB	16
18	1800	40	25	250HB	10
19	1200	60	20	259HB	8
20	900	75	12	290HB	6,5
21	2000	35	20	45HRC	9
22	1750	30	32	48HRC	5
23	1500	20	40	50HRC	7,5
24	1250	40	25	290HB	10
25	1000	50	20	63HRC	14
26	750	100	12	230HB	11
27	500	150	10	55HRC	10
28	350	80	16	50HRC	5,5
29	280	100	12	290HB	7
30	200	150	10	230HB	10

РОЗДІЛ III

Проектування
механічних
передач і
опорних вузлів

Кінематичний розрахунок приводу

Перший етап кінематичного розрахунку – розбивка передатного відношення приводу, значною мірою визначає його габарити і вагу. Орієнтований вибір передатних чисел роблять за даними таблиці 2.1.

Табл.2.1

Вид Передачі	Рекомен- довано значення u	Макси- мальне значення u
Циліндрична зубча- ста передача відк- рита	2...4	5
Циліндрична зубча- ста передача закри- та швидкохідна	3,15...5	8
Циліндрична зубча- ста передача закри- та тихохідна	2,5...5	6,3
Циліндрична зубча- ста передача закри- та тихохідна	2,5...5	6,3
Циліндрична зубчас- та передача в спі- восному редукторі	4...6 ,3	10
Конічна зубчаста передача закрита	3,15...5	6,3
Конічна зубчаста передача відкрита	1...4	5
Черв'ячна передача	16...50	80
Ланцюгова передача	1,5...4	10
Ремінна передача	2...4	8

Передатні
відношення по-
винні відпові-
дати стандарт-
ним:

1-й ряд –

1; 1,25;
1,6; 2,0; 2,5;
3,15; 4,0; 5,0;
6,3; 8,0; 10;
12,5

2-й ряд –

1,12; 1,4;
1,8; 2,24;
2,8; 3,55;
4,5; 5,6; 7,1;
9,0; 11,2

Для пере-
дач редукторів
із досвіду
конструювання
розроблені
більш точні
рекомендації
на вибір пере-
datних чисел
швидкохідного
 $u_{\text{ш}}$ і тихохідно-
го $u_{\text{т}}$ ступенів
(табл. 2.2).

Табл. 2.2

Номер кінематичної схеми приводу	Формула для визначення передатного числа швидкохідного $u_{ш}$ і тихохідного $u_т$ ступеня у залежності від передатного числа редуктору u
1 – 19	$u_т = 0.88\sqrt{u}$
41 – 43	
20 – 25	$u_т = 0.95\sqrt{u}$
29 – 36	
26 – 28	$u_{ш} = 2 * \sqrt[3]{u}$
37 – 40	$u_т = 1.1\sqrt{u}$
46 – 49	1,6...3,15

Необхідні для кінематичного розрахунку значення ККД зведені в таблицю 2.3.

Табл. 2.3

Тип передачі	ККД
Циліндрична відкрита зубчаста передача	0,97
Циліндрична закрита зубчаста передача	0,98
Конічна відкрита зубчаста передача	0,95
Конічна закрита зубчаста передача	0,975
Черв'ячна передача $u > 30$	0,7
Черв'ячна передача $u = 14...30$	0,75
Черв'ячна передача $u < 14$	0,85
Ланцюгова передача	0,95
Ремінна передача	0,93

Розрахунок зубчастих передач на контактну витривалість

Міжосьова відстань (м)

$$a_w = K_a(u \pm 1) \sqrt{\frac{k_{H\beta} T_{H2}}{\phi_a u^2 [\sigma_H]^2}},$$

де знак “-” для передач внутрішнього зачеплення; коефіцієнт $K_a = 495$ для прямозубих коліс; $K_a = 430$ для косозубих коліс; ϕ_a - коефіцієнт ширини зубчастого вінця, який вибирається з ряду стандартних чисел: 0.1, 0.15, 0.2, 0.25, 0.315, 0.4, 0.5, 0.65.

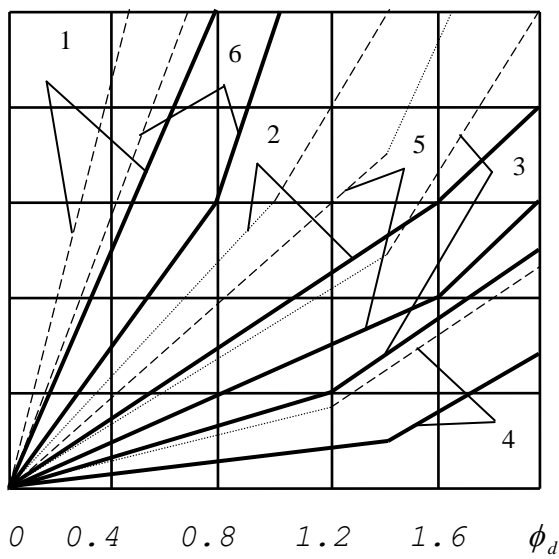


Рис. 2.1

За обраним значенням ϕ_a визначаємо коефіцієнт

$$\phi_d = \phi_a (u+1)/2.$$

Графік залежності коефіцієнта $k_{H\beta}$ даний суцільними лініями (Рис. 2.1) при твердості зубів шестерні або колеса менше 350НВ. Крива (1) відповідає І ступеню в схемах - 37...40; (2) І ст. - 1...19, 41...49; (3) II ст. - 1...13, 37...43; (4) II ст. - 14...19, (5) - 20...36, (6) II ст. - 26...28.

Знайдені значення міжосьової відстані округлюють до стандартних: 40, 50, 63, 71, 80, 90, 100, 112, 125, 140, 160, 180, 200, 225, 250, 280, 315.

Вибирають модуль передачі $m = 0.01-0.025 a_w$ відповідно з стандартними значеннями:

Ряд 1 (мм)
1.0, 1.25, 1.5,
2, 2.5, 3, 4,
5, 6, 8, 10.

Ряд 2 (мм)
1.75, 2.25,
2.75, 3.5, 4.5,
5.5, 7, 9.

Формула перевірочного розрахунку на контактну витривалість

$$\sigma_H = Z_E Z_H Z_\varepsilon \sqrt{\frac{F_t k_{H\alpha} k_{H\beta} k_{H\nu} (u+1)}{b_w d_1 u}} \leq [\sigma_H],$$

де F_t вимірюється в Н; лінійні розміри в мм; $[\sigma_H]$ в МПа; $Z_E = 190 MPa^{1/2}$; $Z_\varepsilon = \sqrt{1/\varepsilon_\alpha}$ – для косозубих коліс і $Z_\varepsilon = \sqrt{(4-\varepsilon_\alpha)/3}$ для прямозубих;

$$\varepsilon_\alpha = [1.88 - 3.2((1/Z_1) + (1/Z_2))] \cos \beta$$

$Z_H \approx 25$; $k_{H\alpha} = 1$ для прямозубих

$k_{H\alpha} = 1 + C(N-5)[(1/Z_\varepsilon^2) - 1]$ для косозубих ($C=0,25$ при $H < 350 HB$, $C=0,4$ при $H > 350 HB$, N

$$- \text{ступінь точності); } k_{H\nu} = 1 + \frac{w_{H\nu} b_w}{F_t k_{H\alpha} k_{H\beta}},$$

$$w_{H\nu} = \delta_H g_0 v \sqrt{a_w / u}$$

Значення коефіцієнта δ_H

Табл. 2.4

Вид зубів	δ_H при $H < 350$	δ_H при $H > 350$
Прямі	0,16	0,14
Прямі модифіковані	0,04	0,1
Косозубі	0,02	0,04

Значення коефіцієнта g_0

Табл. 2.5

модуль	6 ст. точн.	7 ст. точн.	8 ст. точн.
<3,55	3,8	4,7	5,6
3,55...	4,2	5,3	6,1
10...10			
>10	4,8	6,4	7,3

При проектному розрахунку конічних передач визначається зовнішній ділильний діаметр колеса (м)

$$d_{t2} = 17500 \sqrt[3]{\frac{k_{H\beta} u T_{H2}}{\theta_H [\sigma_H]^2}}$$

Коефіцієнт θ_H приймають рівним 0,85 для прямозубих коліс; для коліс з круговими зубами:

($H_1 < 350 HB$,

$H_2 < 350 HB$)

$$\theta_H = 1,22 + 0,21, \quad (H_1 > 350 HB, H_2 < 350 HB)$$

$$\theta_H = 1,13 + 0,13, \quad (H_1 > 350 HB, H_2 > 350 HB)$$

$$\theta_H = 0,81 + 0,15.$$

Коефіцієнт $k_{H\beta}$ обирають по рис. 2.1 для коліс з круговими зубами

$$\theta_H = 1,22 + 0,21 u \quad (H_1 < 350 HB \text{ по}$$

$$\phi_d = 0.166 \sqrt{u^2 + 1}.$$

Перевірка зубів конічних коліс за контактними напругами

$$\sigma_H = 1.9 * 10^6 \sqrt{\frac{k_{H\beta} k_{H\nu} k_{H\alpha} u T_{H2}}{\theta_H d_{e2}^3}} \leq [\sigma_H]$$

Розрахунок коефіцієнта $k_{H\alpha}$ ведеться за значеннями коефіцієнта перекриття, отриманого для еквівалентних циліндричних коліс.

Розрахунок зубчастих передач на згинальну витривалість

$$\sigma_F = \frac{F_t k_{F\alpha} k_{F\beta} k_{F\nu}}{bm_n} y_F \leq [\sigma_F],$$

де коефіцієнти $k_{F\alpha}, k_{F\beta}, k_{F\nu}$ визначаються зведенням у ступінь N коефіцієнтів використаних у розрахунках на контактну витривалість.

$$N = \frac{(b/h)^2}{(b/h)^3 + (b/h) + 1},$$

де $h = 2m_n$ для косозубих і $h = 2m_n/\varepsilon_a$ для прямозубих коліс.

Розрахунок на згинальну витривалість конічних коліс проводиться для середнього перетину зуба.

$$\sigma_F = \frac{F_t k_{F\alpha} k_{F\beta} k_{F\nu}}{b \theta_F m_n} y_F \leq [\sigma_F],$$

де $\theta_F = 0,94 + 0,08u$

($H1 < 350HB$, $H2 < 350HB$);

$$\theta_F = 0,85 + 0,04u$$

($H1 > 350HB$, $H2 < 350HB$);

$$\theta_F = 0,65 + 0,11u$$

($H1 > 350HB$, $H2 > 350HB$).

Розрахунок черв'ячних передач

$$a_w = 6100 \sqrt{\frac{T_{H2}}{[\sigma_H]^2}}.$$

За знайденим значенням міжосьової відстані визначають модуль $m = (1,4-1,7) \frac{a_w}{z_2}$, що округляють до стандартного. За модулем обирають коефіцієнт діаметру черв'яка q із стандартного ряду: 8, 10, 12.5, 14, 16, 20. Менші значення коефіцієнта q відповідають великим значенням модуля. Мінімально припустиме значення q вибирають з умови жорсткості черв'яка $q = 0,212 * z_2$.

Перевірочний розрахунок на контактну витривалість побудований на основі тих же передумов, що і розрахунок зубчастих передач. У передачах з архімедовим черв'яком радіус кривизни профілю витка черв'яка $\rho = \infty$, з урахуванням цього формула

для розрахунку контактних напруг σ_H має вигляд

$$\sigma_H = \frac{5400}{z_1/q} \sqrt{\frac{T_2 k_{H\alpha} k_{H\beta} k_{H\nu} (z_1/q + 1)}{a_w^3}} \leq [\sigma_H]$$

Розрахунок черв'ячних передач на згинальну витривалість

Витки черв'яка значно міцніші від зубів черв'ячного колеса. Тому мета розрахунку - запобігання поломці зубів черв'ячного колеса.

$$\sigma_F = \frac{F_t k_{Fa} k_{F\beta} k_{F\nu} \cos \gamma}{d_2 m} \quad y_F \leq [\sigma_F]$$

де y - коефіцієнт форми зубів, що вибирається за еквівалентним числом зубів

$$z_v = z_2 / \cos 2\gamma.$$

Розрахунок редукторів на нагрів

Коефіцієнт корисної дії η залежить від втрат у зачепленні (урахування втрат через тертя в зачепленні здійснюється за допомогою коефіцієнта $\Psi_{(z)}$, втрат на тертя в опорах $\Psi_{(o)}$, втрат на збовтування олії $\Psi_{(m)}$, втрат на тертя в ущільненнях $\Psi_{(y)}$.

$$\eta = (1 - \Psi_z) / (1 + \Psi_{\text{про}} + \Psi_m + \Psi_y).$$

Коефіцієнт втрат у зачепленні:

черв'ячних передач

$$\Psi_z = [1 - \tan(\gamma) / \tan(\gamma + \varphi)] + 0,5\pi f \varepsilon_s / z_2,$$

зубчастих передач

$$\Psi_z = (1,5\pi f / \cos \beta) (1/z_1 + 1/z_2) \varepsilon_a,$$

де γ - кут підйому витків черв'яка; кут тертя φ - кут тертя; f - коефіцієнт тертя в зачепленні; ε_s - коефіцієнт перекриття в середній площині черв'ячної передачі; ε_a - коефіцієнт торцевого перекриття в зубчастій передачі; β - кут нахилу зубів; z_1 і z_2 - кількість зубів.

Коефіцієнт тертя в зачепленні залежить від швидкості ковзання V (рис. 2.2), а в черв'ячних передачах і від матеріалу колеса (табл. 2.6).

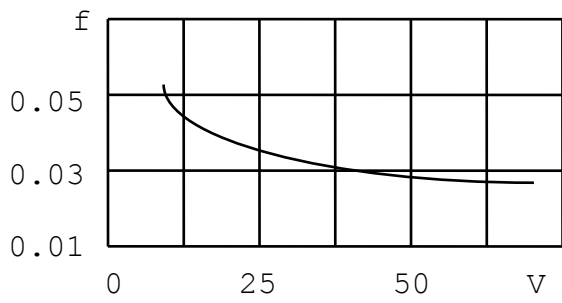


Рис. 2.2

Табл. 2.6

Швидкість ковзання, м/с	Олов'янисті бронзи	Безолов'янисті бронзи	Сірі чавуни
0,01	0,11	0,18	0,2
0,1	0,085	0,14	0,16
0,25	0,07	0,1	0,11
0,5	0,06	0,09	0,1
1	0,05	0,075	0,09
2	0,04	0,055	0,07
4	0,028	0,045	-
5	0,026	0,035	-
10	0,024	-	-

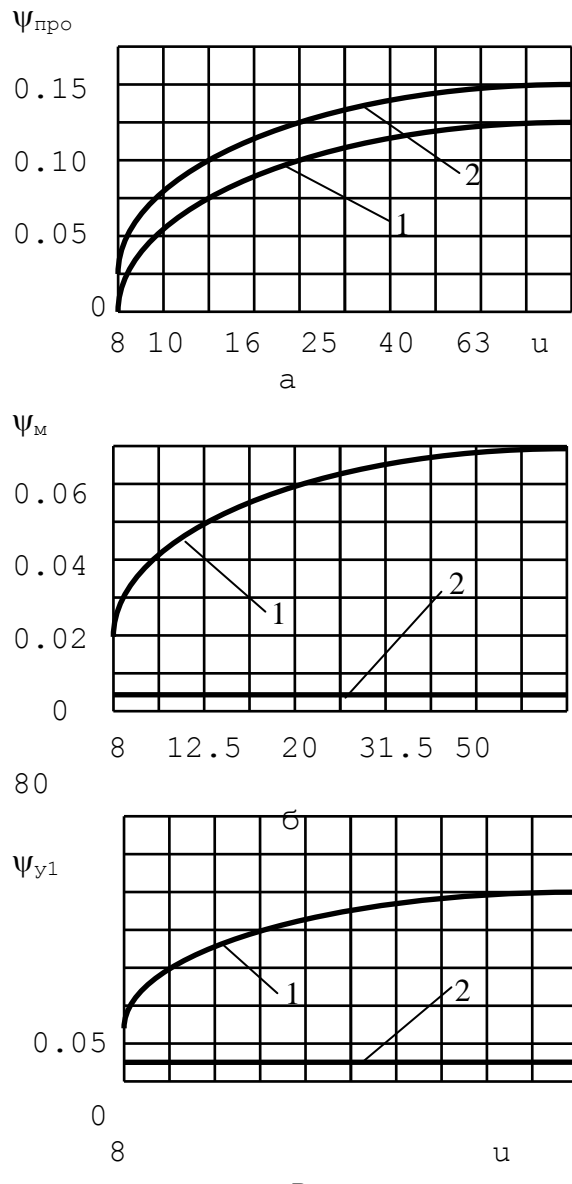


Рис. 2.3

Коефіцієнт перекриття в середній площині черв'ячного колеса

$$\varepsilon_s = \sqrt{[0.17(z_2 + x) + 0.34]^2 - (0.16z_2)^2} - 0.058z_2 + 1.01(1-x).$$

Коефіцієнт (ψ_o) вибирається в залежності від передатного відношення u і типу опор: шарикопідшипники - 1; роликопідшипники - 2

Коефіцієнт (ψ_m) вибирається в залежності від передатного відношення u і конструкції редуктору: черв'як під колесом - 1; колесо під черв'яком - 2.

Коефіцієнт $\psi_y = k_m * \psi_{y1}$ (див. рис. 2.3в). Значення коефіцієнта k_m у залежності від міжосьової відстані a_w і глибини занурення h черв'яка (ч) і колеса (к) в олію визначаються з таблиці 10.

Табл. 2.7

a_w	(ч) $h < 2m$	(ч) $h > 2m$
	(к) $h < m_z/8$	(к) $h > m_z/8$
<80	0,4	0,65
80-160	0,25	0,4
>160	0,1	0,2

Коефіцієнт (ψ_{y1}) вибирається в залежності від передатного відношення u для вала черв'яка - 1; для вала колеса - 2. Для урахування загальних втрат в ущільненнях знайдені коефіцієнти підсумовуються.

Розрахунок ККД і втрат у зачепленні дозволяє визначити температуру олії в редукторі

$$t_m = N * (1 - \eta) * k_p / (A * k_t) + t_b < [t_m],$$

де N - передана потужність; t_m - температура олії; $[t_m]$ - припустима температура

олії; t_b - температура навколошнього повітря; k_t - коефіцієнт теплопередачі; A - площа поверхні охолодження.

Табл. 2.8

Частота обертання черв'яка	K_t
750	15
1000	17,5
1500	22

При невиконанні умови $t_m < [t_m]$ ($[t_m] = 70^\circ$ при верхньому розташуванні черв'яка; $[t_m] = 90^\circ$ при нижньому розташуванні черв'яка) застосовують оребрення корпусу або штучне охолодження.

Температура олії при наявності вентилятора визначається за формулою

$$t_m = N * (1 - \eta) * k_p / [(A * k_t) + (A_1 * k_{t1})] + t_b < [t_m],$$

де A_1 - 30% площа поверхні що обдувається вентилятором; $k_{t1} = 7 + 12 * 0,005 n_1$ (коєфіцієнт теплопередачі для поверхні корпуса, яка обдувається).

Періодична робота редуктора враховується коефіцієнтом $k_p = t_p / 60$, де t_p - час роботи протягом години.

Розрахунок припустимих напруг

Припустимі контактні напруги визначають окремо для шестерні $[\sigma]_{H1}$ і колеса $[\sigma]_{H2}$. Розрахункова припустима контактна напруга передачі

$$[\sigma]_H = 0,45 ([\sigma]_{H1} + [\sigma]_{H2}).$$

Ця напруга не повинна перевищувати: для циліндричних косозубих і шевронних коліс - $1,23 [\sigma]_{H2}$; для конічних коліс з круговим зубом $1,15 [\sigma]_{H2}$.

Контактна $[\sigma]_H = [\sigma]_{Hlim} K_{HL} / S_H$ і згиальна $[\sigma]_F = [\sigma]_{Flim} K_{FL} / S_F$ допустимі напруги відповідні тривалій контактній $[\sigma]_{Hlim}$ і згиальної витривалості $[\sigma]_{Flim}$; S_H і S_F - коефіцієнти безпеки за контактними і згиальними напругами; K_{HL} і K_{FL} - коефіцієнти довговічності за контактними і згиальними напругами.

$$K_{HL} = \sqrt[6]{N_{H0} / N_H}$$

Отримане значення коефіцієнта повинно лежати у межах $2,4 > K_{HL} > 1$. Розрахункове число циклів зміни напруг

$$N_H = 60c \sum (T_i / T_{1H})^3 n_i t_i,$$

де c - число зачеплень зуба за один оберт колеса; T_i - розмір i -го обертовального моменту; n_i - частота обертання (об/хв) того з коліс, за матеріалом якого визначають припустимі напруги, що відповідають даному моменту;

t_i - число годин роботи передачі при даному значенні момента; T_{1H} - максимальний момент, що враховується при розрахунку. Базове число циклів залежить від твердості робочих поверхонь зубів $N_{H0} = 30 * HB^{2,4}$.

$$K_{FL} = \sqrt[9]{N_{F0} / N_F}$$

Отримане значення коефіцієнта повинно лежати в межах $2 > K_{FL} > 1$. Розрахункове число циклів зміни напруг

$$N_F = 60c \sum (T_i / T_{1F})^m n_i t_i,$$

де m дорівнює 6 для нормалізованих і поліпшених коліс і 9 - для загартованих коліс. Базове число циклів при згині $N_{F0} = 4 * 10^6$.

Коефіцієнт безпеки S_H : для коліс з однорідною структурою $S_H = 1,1$, з поверхневим змінням $S_H = 1,2$. При згині коефіцієнт S_F складає $1,7 \dots 2,2$; великі значення відповідають литим заготовкам.

У таблиці 2.9 наведені значення твердості зубів у залежності від марки стали і термічної обробки. Таблиця 2.10 дозволяє визначити орієнтовні значення припустимих напруг для проектного розрахунку. У таблиці 2.11 дані значення меж тривалої контактної $[\sigma]_{Hlim}$ і згиальної витривалості $[\sigma]_{Flim}$. У таблиці 2.12 наведені значення припустимих контактних напруг для матеріалів, із яких виготовляють черв'ячне колесо.

Табл. 2.9

Марка Сталі	Терміч- на обробка	Твер- дість серцеви- ни НВ	Твер- дість поверхні НВ
45	Поліп- шення	235... 260	235... 260
40Х	Поліп- шення Поліп- шення і загарту- вання ТВЧ	270... 300 270... 300	270... 300 45... 50HRC
40ХН 35ХМ	Поліп- шення Поліп- шення і загарту- вання ТВЧ	270... 300 270... 300	270... 300 48... 53HRC
20Х 18ХГТ 25ХГМ	Поліп- шення, цемента- ція і загарту- вання ТВЧ	300... 400	56... 63HRC

Табл. 2.10

Термо- оброб- ка	Група сталей	[σ] _H MPa	[σ] _F MPa
Поліп- шення	45, 40Х, 40ХН, 35ХМ	1,8HB+ 67	1,03HB
Загар- тування ТВЧ по кон- туру зу- бів	40Х, 40ХН, 35ХМ	14HRC+ 170	370
Загар- тування ТВЧ наскріз- не	40Х, 40ХН, 35ХМ	14HRC+ 170	310
Загар- тування і цемента- ція	20Х, 18ХГТ, 25ХГМ	19HRC	480

Табл. 2.11

Термоо- бробка	Твер- дість	σ_{Hlim} МПа	σ_{Flim} Мпа
Поліп- шення	HB < 350	2HB+ 70	260+H B
Об'ємне загар- тування зубів	38...50 HRC	18HRC + 150	600
Загар- тування ТВЧ на- скрізь	40...55 HRC	17HRC + 200	45+ 19HRC
Загар- тування і цемен- тація	55...65 HRC	230 HRC	800

Табл. 2.12

Матері- ал	Ли- вар- ний спосіб	$[\sigma]_H$	$[\sigma]_F$
БрОНФ 10-1-1	Ц	205	700
БрОФ 10-1	З	166	550
БрОЦС 5-5-5	К З	105 76	500 450
БрАЖН 10-4-4 БрАЖ9-4	Ц К	275- 25*v _s	850 750
СЧ15 СЧ18	-	175- 35*v _s	380 430

Ливарні способи: ц - від-
центрковий, к - у кокіль,
з - у землю.

Вибір підшипників кочення

Підшипники кочення щодо напрямку сприйманого навантаження підрозділяють на радіальні, радіально-упорні і упорні підшипники.

Підшипники кочення підрозділяють за типом тіл кочення: кулькові і роликові.

Вибір типу підшипника здійснюють виходячи з наступних рекомендацій. При відсутності осьового навантаження (циліндричні прямозубі і шевронні передачі) вибирають радіальні підшипники: кулькові підшипники радіальні однорядні і роликопідшипники радіальні з короткими циліндричними роликами. Роликопідшипники мають більшу навантажувальну спроможність при однакових габаритах. Їх звичайно використовують при потужності редуктора понад 8 кВт. Роликопідшипники не здатні сприймати осьове навантаження F_A . Кулькові підшипники припускають невелике осьове навантаження ($F_A=0,1*F_r$), наприклад, силами ваги деталей.

Кулькові підшипники радіально-упорні однорядні встановлюють при невеликих осьових навантаженнях створюваних передачами циліндричними косозубими і конічними прямозубими невеликої потужності. Роликопідшипники ко-

нічні однорядні використовують при значних осьових навантаженнях у конічних передачах із круговими зубами і черв'ячних, а також при потужності редуктора понад 10кВт. Конічні роликопідшипники і радіально-упорні кулькові підшипники встановлюють попарно для усунення осьових зазорів. Кульковий підшипник сферичний дворядний сприймає осьове навантаження, не потребує парної установки і допускає значні перекоси валів. Сферичний кульковий підшипник часто використовують в опорному вузлі черв'яка, що допускає самоустановку. Упорні підшипники встановлюють при осьових зусиллях, переважаючих радіальні в опорних вузлах черв'яка і при вертикальному розташуванні валів.

Підшипники кочення підрозділяють на серії: легку, середню і важку. Підшипники середньої серії мають більшу навантажувальну спроможність, ніж підшипники легкої серії того ж внутрішнього діаметра і великих габаритів, аналогічне співвідношення між середньою і важкою серіями. Спочатку вибирають підшипники легкої серії. При однаковій навантажувальній спроможності підшипників легкої серії більшого діаметра і підшипників середньої і важкої серій меншого внут-

рішнього діаметра - зовнішній діаметр і ширина підшипника легкої серії менший, середньої, а середньої - менші, ніж важкої. Тому при недостатній навантажувальній спроможності опор краще вибирати підшипники більшого внутрішнього діаметра, а не підшипники іншої серії.

Розрахунок підшипників кочення на довговічність

Підшипники кочення звичайно піддаються загальній дії радіального F_r і осьового F_A навантажень, робота їх супроводжується поштовхами й ударами, підвищеннем температури. Вплив цих чинників на довговічність підшипника враховується за допомогою розрахунку еквівалентного навантаження

$$P = (F_r \cdot V \cdot X + F_A \cdot Y) \cdot K_T \cdot K_b,$$

де V - коефіцієнт обертання, що враховує, яке з кілець обертається ($V = 1$ при обертанні внутрішнього кільця і $V = 1,2$ при обертанні зовнішнього кільця);

K_b - коефіцієнт безпеки, що враховує динамічне навантаження (для передач 5 і 6 ступенів точності $K_b = 1,1 - 1,3$; а 7, 8 ступенів точнос-

ти і черв'ячних передач - $K_b = 1,3 - 1,5$, при 9 ступені точності - $K_b = 1,8 - 2,5$);

K_T - температурний коефіцієнт, що враховує підвищення робочої температури ($K_T = 1$ при $t < 105^{\circ}\text{C}$ і $K_T = (108 + 0,4t)/150$ при $t = 105 - 200^{\circ}\text{C}$;

X і Y - коефіцієнти радіального й осьового навантажень, які залежать від величини коефіцієнта e , що у свою чергу задається відношенням F_A/C_r для радіально-упорних кулькових підшипників, конічних роликопідшипників і відношенням F_A/F_R для сферичних кулькових підшипників. Значення коефіцієнтів X і Y зазначені в довідкових таблицях додатка для сферичних кулькових підшипників і конічних роликопідшипників безпосередньо для кожного типорозміру. У конічних роликопідшипниках при $F_A/VF_R \leq e$ коефіцієнт $X=1$, а $Y=0$ при $F_A/VF_R \geq e$ $X=0,4$; а - значення коефіцієнта Y зазначені в таблицях додатків. Аналогічним способом вибирають коефіцієнти радіального й осьового навантажень для радіально-упорних кулькових підшипників із збільшеним кутом конуса.

На підставі експериментальних досліджень встановлений зв'язок між довговічністю підшипника, що вимірюєть-

ся в мільйонах обертів, і діючим на нього навантаженням Р

$$L = (C_r / P)^m,$$

де m - показник степеня, який дорівнює 3 для кулькових підшипників і 3,33 - для роликових підшипників, C - динамічна вантажопідйомність (постійне навантаження, яке підшипник може витримувати протягом 10^6 обертів).

Довговічність підшипника, виражена в годинах

$$L_h = \frac{10^6 L}{60n},$$

де n - частота обертання вала.

Необхідна довговічність підшипника визначається техніко-економічними показниками і вибирається тим більшою, чим важливіша безперебійна робота машини, вища трудомісткість заміни підшипника. Бажано, щоб ресурс підшипника і термін служби машини були рівні або кратні. Звичайно нормативна довговічність підшипників повинна складати не менше 10000 год. (зубчасті редуктори) або принаймні, 5000 год. (черв'ячні редуктори).

Розрахунок зусиль, діючих на підшипники кочення. Конструкції опорних вузлів.

Якщо вал встановлений в радіально-упорних кулькових підшипниках осьові сили, діючі на підшипники: лівий - F_{Al} і правий - F_{An} , знаходять з урахуванням осьових складових S_{Al} і S_{An} через дію радіальних сил F_{Rl} , F_{Rn} ; $S_{Al} = F_{Rl} / (2 * Y)$, $S_{An} = F_{Rn} / (2 * Y)$, для кулькових підшипників при куті контакту (кут між нормальню до поверхні тіл кочення і кілець і вертикальною лінією) $\alpha < 18^\circ$; $S_A = eF_R$ для кулькових підшипників при куті контакту $\alpha > 18^\circ$; $S_A = 0,83eF_R$ для роликових підшипників.

Для нормальної роботи радіально-упорних підшипників необхідно щоб виконувалася умова

$$F_{Rl} > S_{Al}; F_{Rn} > S_{An}.$$

Залежності для визначення результиручого осьового зусилля F_a при різних схемах опорних вузлів і співвідношеннях радіальних і осьових зусиль у підшипнику зведені в таблицю 2.13.

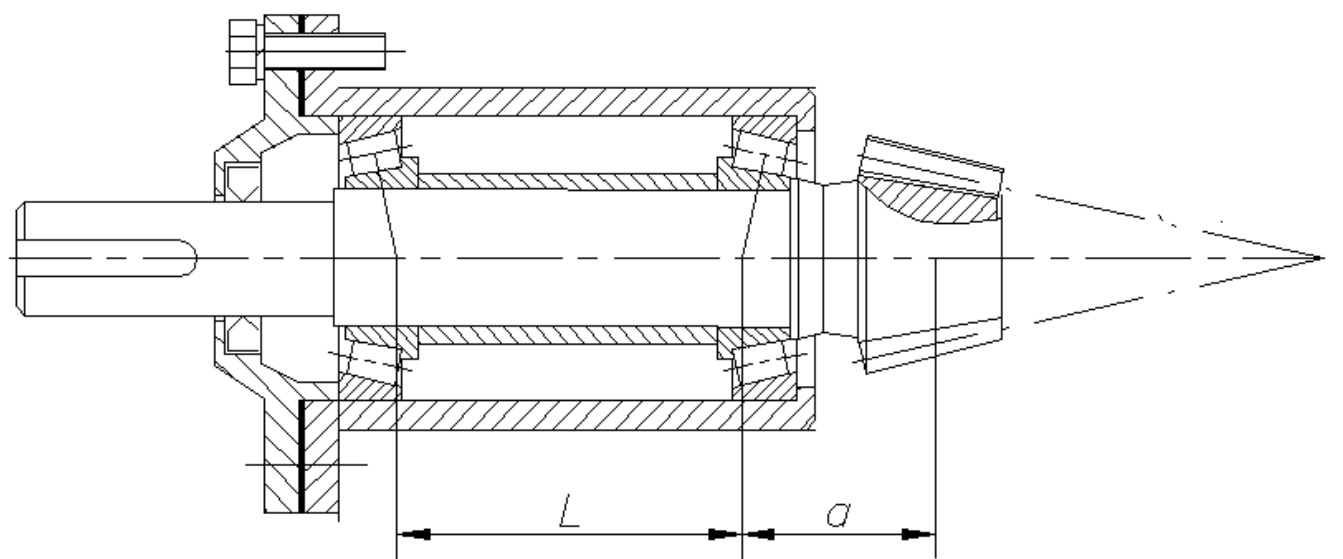
Табл. 2.13.

$S_{A\perp} < S_{A\pi}$	-	$F_{A\perp} = F_a + S_{A\pi}$	$F_{A\pi} = S_{A\pi}$
$S_{A\perp} > S_{A\pi}$	$F_a > S_{A\perp}$ $-S_{A\pi}$	$F_{A\perp} = F_a + S_{A\pi}$	$F_{A\pi} = S_{A\pi}$
$S_{A\perp} > S_{A\pi}$	$F_a > S_{A\perp}$ $-S_{A\pi}$	$F_{A\perp} = S_{A\perp}$	$F_{A\pi} = S_{A\perp} - F_a$

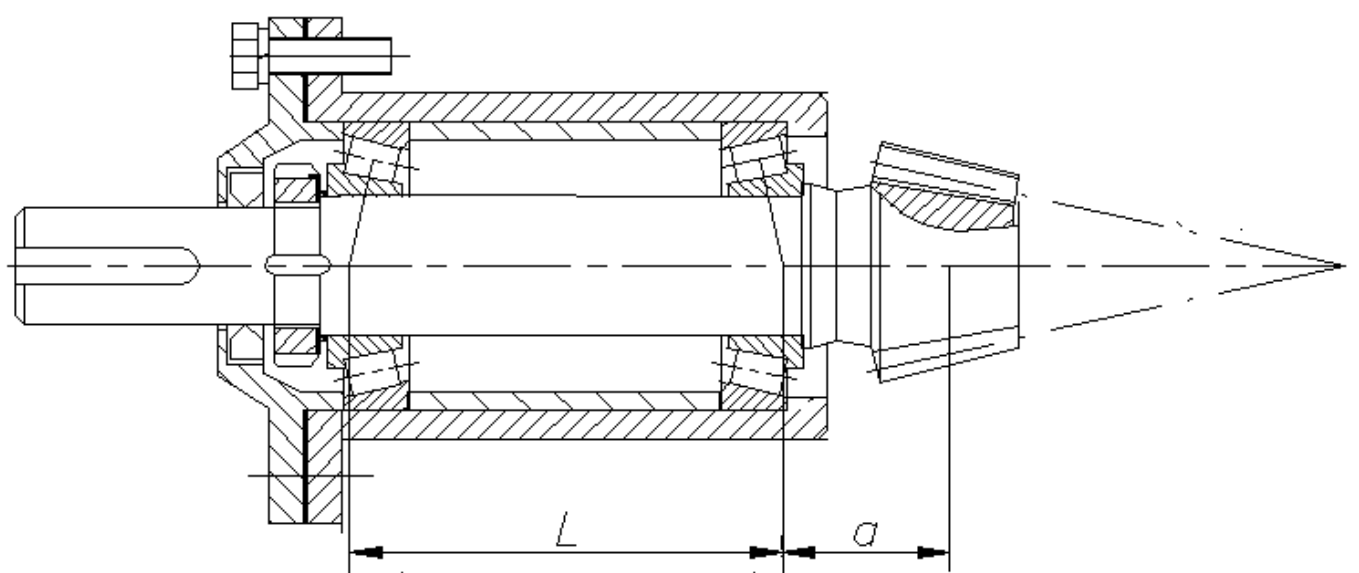
Опорні вузли конічних шестерень звичайно виконують консольними. Необхідна жорсткість опорного вузла досягається як за рахунок добору підшипників відповідного типорозміру, встановлених із попереднім натягом, так і за рахунок необхідного відношення $L/a = 2,5\dots 3$ (L - відстань між опорами, a - відстань від середини зубчастого вінця до ближньої опори). Необхідне відношення L/a ($L/a = 3$) реалізовано в конструкції опорного вузла за схемою "O" (б); у схемі "X" (а) відношення L/a ($L/a = 1$) неприпустимо мале, і відстань між опорами, а відповідно і габарити опорного вузла, необхідно збільшити (рис.5.1). У випадку, якщо опорні вузли, виконані за схемами "X" і "O", мають однакові габарити - жорсткість опорного вузла за схемою "O" завжди вище. При однаковому відношенні L/a у зазначених схемах габарити опорного вузла за схемою "O" завжди менші. Таким чином із погляду мінімальних габаритів і маси схема "O" є оптимальною.

Ще більший вигран у габаритах і масі опорного вузла можна досягти, застосовуючи підшипники більшого діаметра зі збільшеними кутами контакту α ($\alpha=24^\circ$).

Для створення попереднього натягу конічні роликопідшипники встановлюють попарно. У схемі "X" натяг створюється затягуванням гвинтів, фіксуючих кришку. У схемі "O" у підшипнику, близьчому до шестерні, створюється натяг осьовим зусиллям у зачепленні. Натяг у другому підшипнику створюється кільцем, розташованим на ділянці вала з різьбленим. У схемі "O" складніша конструкція вала і є додаткова деталь; таким чином із погляду трудомісткості виготовлення і зручності монтажу схема "X" є кращою. У консольних опорних вузлах перший підшипник (розташований поблизу шестерні) навантажений у декілька разів більший, ніж другий підшипник. У передачах автомобілів типорозмір першого підшипника на один два номери більше чим другого. У типажних редукторах із метою уніфікації звичайно встановлюють підшипники однакового типорозміру. При цьому керуються принципом уніфікації елементів редуктора. У двоступінчатих циліндричних редукторах із метою уніфікації часто встановлюють однакові підшипники на швидкохідному і проміжному валах.

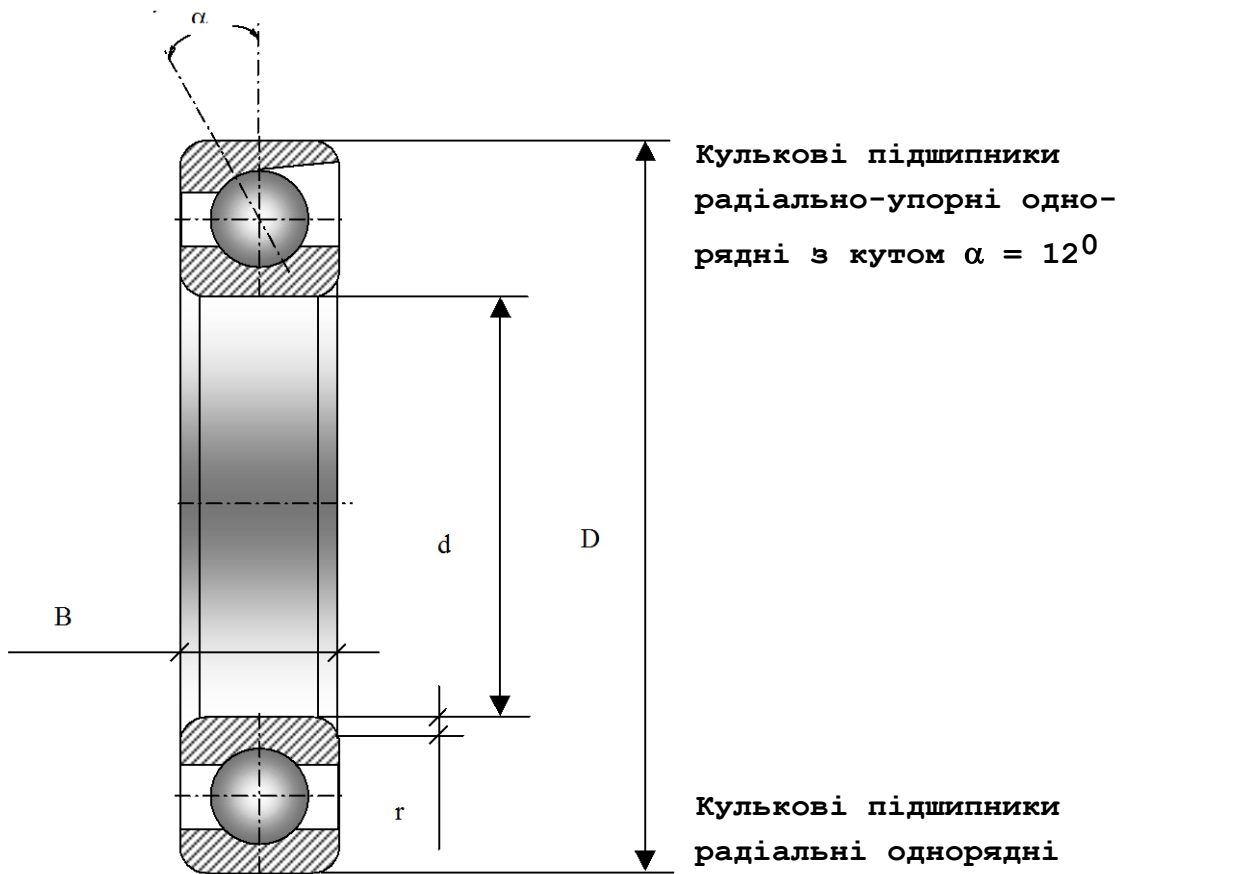


a



б

Рис. 2.4



Радіус тіл кочення

$$R = 0,16(D - d)$$

Товщина внутрішнього кільця

$$S = 0,15(D - d)$$

**Кулькові підшипники
радіальні однорядні**

Легка серія діаметрів.

ø	d	D	B	r	C_r
202	15	35	11	1,0	5,97
204	20	47	14	1,5	10,0
205	25	52	15	1,5	11,0
206	30	62	16	1,5	15,3
207	35	72	17	2,0	20,1
208	40	80	18	2,0	25,6
209	45	85	19	2,0	25,7
210	50	90	20	2,0	27,5
211	55	100	21	2,5	34,0
212	60	110	22	2,5	41,1
213	65	120	23	2,5	44,9
214	70	125	24	2,5	48,8
215	75	130	25	2,5	51,9
216	80	140	26	3,0	57,0
217	85	150	28	3,0	65,4
218	90	160	30	3,0	75,3
219	95	170	32	3,5	85,3
220	100	180	34	3,5	95,8

**Кулькові підшипники
радіальні однорядні**

Середня серія діаметрів.

ø	d	D	B	r	C_r
302	15	42	13	1,5	8,9
304	20	52	15	2,0	12,5
305	25	62	17	2,0	17,6
306	30	72	19	2,0	22,0
307	35	80	21	2,5	26,2
308	40	90	23	2,5	31,9
309	45	100	25	2,5	37,8
310	50	110	27	3,0	48,5
311	55	120	29	3,0	56,0
312	60	130	31	3,5	64,1
313	65	140	33	3,5	72,7
314	70	150	35	3,5	81,7
315	75	160	37	3,5	89,0
316	80	170	39	3,5	96,5
317	85	180	41	4,0	104,0
318	90	190	43	4,0	112,0
319	95	200	45	4,0	120,0
320	100	215	47	4,0	136,0

**Кулькові підшипники
радіально-упорні однорядні
з кутом контакту $\alpha = 12^0$**

Легка серія діаметрів.

**Кулькові підшипники
радіально-упорні однорядні
з кутом контакту $\alpha = 12^0$**

Середня серія діаметрів.

Ø	d	D	B	r	C_r
36202	15	35	11	1,0	6,38
36204	20	47	14	1,5	12,3
36205	25	52	15	1,5	13,1
36206	30	62	16	1,5	18,2
36207	35	72	17	2,0	24,0
36208	40	80	18	2,0	30,6
36209	45	85	19	2,0	32,3
36210	50	90	20	2,0	33,9
36211	55	100	21	2,5	41,9
36212	60	110	22	2,5	48,2
36214	70	125	24	2,5	63,0

Ø	d	D	B	r	C_r
36302	15	42	13	1,5	10,4
36304	20	52	15	2,0	13,1
36305	25	62	17	2,0	22,0
36306	30	72	19	2,0	26,9
36307	35	80	21	2,5	35,0
36308	40	90	23	2,5	41,3
36309	45	100	25	2,5	50,5
36310	50	110	27	3,0	59,2
36312	60	130	31	3,5	83,0

Значення коефіцієнтів X і Y в залежності від співвідношення осьового навантаження F_A і динамічної вантажопідйомності C_r .

**Кулькові підшипники
радіально-упорні однорядні
з кутом контакту**

$$\alpha = 26^0$$

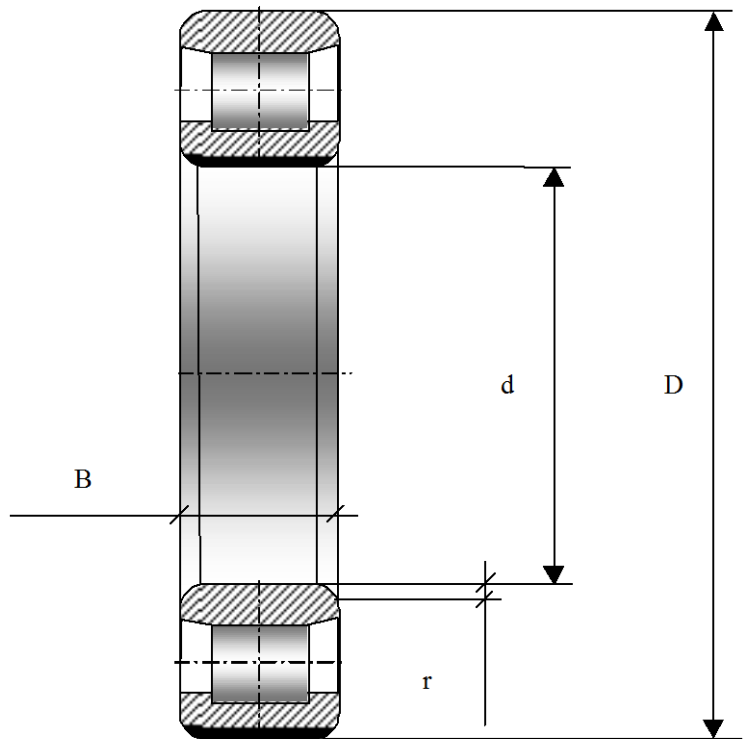
Середня серія діаметрів.

α град	F_A/C_r	X	Y	e
12	0,014	0,45	1,81	0,3
12	0,029	0,45	1,62	0,34
12	0,057	0,45	1,46	0,37
12	0,086	0,45	1,34	0,41
12	0,11	0,45	1,22	0,45
12	0,17	0,45	1,13	0,48
12	0,29	0,45	1,04	0,52
12	0,43	0,45	1,01	0,54
12	0,57	0,45	1,00	0,54

ø	d	D	B	r	C_r
46304	20	52	15	2,0	14,0
46305	25	62	17	2,0	21,1
46306	30	72	19	2,0	25,6
46307	35	80	21	2,5	33,4
46308	40	90	23	2,5	39,2
46309	45	100	25	2,5	48,1
46310	50	110	27	3,0	56,3
46311	55	120	29	3,0	68,9
46312	60	130	31	3,5	78,8

При $F_A/VF_r \leq 0,68$ значення коефіцієнтів $X=1$ і $Y=0$, а при $F_A/VF_r > e$ - $X=0,41$ и $Y=0,87$.

**Роликопідшипники
радіальні з короткими
циліндричними роликами**



D - зовнішній діаметр;
d - внутрішній діаметр;
B - ширина підшипника;
r - радіус закруглення;
 θ - умовне позначення підшипника;
C_r - динамічна вантажопідйомність в кН.

Радіус тіл кочення

$$R = 0,16(D - d)$$

Товщина внутрішнього кільця

$$S = 0,15(D - d)$$

**Роликопідшипники
радіальні з короткими
циліндричними роликами**

Легка серія діаметрів.

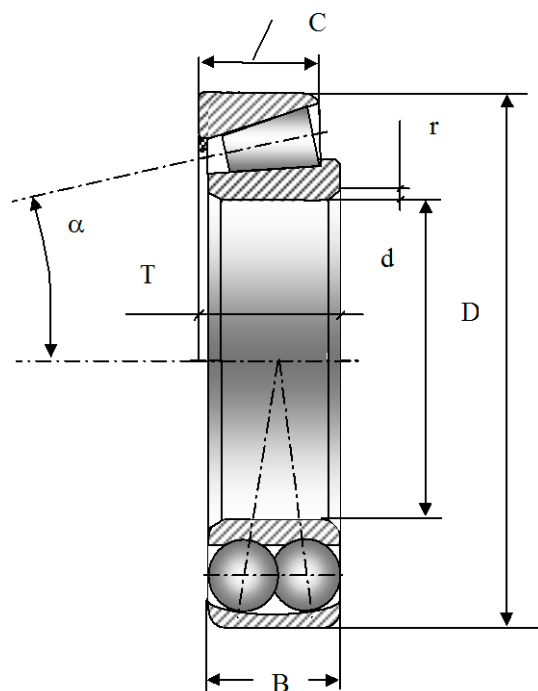
ℓ	d	D	B	r	C_r
2204	20	47	14	1,5	11,9
2205	25	52	15	1,5	13,4
2206	30	62	16	1,5	17,3
2207	35	72	17	2,0	25,6
2208	40	80	18	2,0	33,7
2209	45	85	19	2,0	35,3
2210	50	90	20	2,0	38,7
2211	55	100	21	2,5	43,7
2212	60	110	22	2,5	54,8
2213	65	120	23	2,5	62,1
2214	70	125	24	2,5	61,8
2215	75	130	25	2,5	75,4

**Роликопідшипники
радіальні з короткими
циліндричними роликами**

Середня серія діаметрів.

ℓ	d	D	B	r	C_r
2305	25	62	17	2,0	22,6
2306	30	72	19	2,0	30,2
2307	35	80	21	2,5	34,1
2308	40	90	23	2,5	41,0
2309	45	100	25	2,5	56,5
2310	50	110	27	3,0	65,2
2311	55	120	29	3,0	84,0
2312	60	130	31	3,5	100,0
2313	65	140	33	3,5	105,0
2314	70	150	35	3,5	123,0
2315	75	160	37	3,5	142,0

**Роликопідшипники конічні
однорядні з кутом $\alpha=12^\circ$**



**Кулькові підшипники
сферичні дворядні**

D - зовнішній діаметр;
d - внутрішній діаметр;
B - ширина підшипника;
r - радіус закруглення;
 α - кут контакту;
 Θ - умовне позначення підшипника;
 C_x - динамічна вантажопідйомність в кН.

Радіус тіл качення сферичних підшипників

$$R = 0,125(D - d).$$

Товщина внутрішнього кільця сферичних підшипників

$$S = 0,17(D - d).$$

**Конічні роликопідшипники
з кутом $\alpha=12^\circ$**

Легка серія діаметрів.

**Конічні роликопідшипники
з кутом $\alpha=12^\circ$**

Середня серія діаметрів.

ø	d	D	T_{max}	B	C	r	C_r
7204	20	47	15,5	14	12	1,5	19,1
7206	30	62	17,5	16	14	1,5	29,8
7208	40	80	20	19	16	2,0	42,4
7210	50	90	22	21	17	2,0	52,9
7212	60	110	24	23	19	2,5	72,2
7214	70	125	26,5	26	26	2,5	95,9
7216	80	140	28,5	26	28	3,0	106
7218	90	160	33	31	31	3,0	141

ø	d	D	T_{max}	B	C	r	C_r
7304	20	52	16,5	16	13	2,0	26
7306	30	72	21	19	17	2,0	43
7308	40	90	25,5	23	20	2,5	66
7310	50	110	29,5	29	23	3,0	100
7312	60	130	34	31	27	3,5	128
7314	70	150	38,5	37	30	3,5	170

Значення коефіцієнтів X і Y в залежності від співвідношення осьового навантаження F_A і динамічної вантажопідйомності C_r .

Легка серія діаметрів.

ø	e	Y
7204	0,360	1,666
7206	0,365	1,645
7208	0,383	1,565
7210	0,374	1,604
7212	0,351	1,710
7214	0,369	1,624
7216	0,421	1,426
7218	0,383	1,565

Середня серія діаметрів.

ø	e	Y
7304	0,300	2,030
7306	0,337	1,780
7308	0,278	2,158
7310	0,310	1,937
7312	0,305	1,966
7314	0,310	1,940

Конічні роликопідшипники зі збільшеним кутом α .

@	d	D	α	T_H	B	C	r	C_r
27306	30	72	26	21	19	14	2,0	30,0
27308	40	90	28	25,5	23	17	2,5	48,4
27310	50	110	28	29,5	27	19	3,0	69,3
27312	60	130	25	34	31	22	3,5	80,5
27313	65	140	27	36,5	33	23	3,5	89,0
27315	75	160	29	40,5	37	26	3,5	119

Значення коефіцієнтів X і Y в залежності від співвідношення осьового навантаження F_A і динамічної вантажопідйомності C_r .

ø	e	Y
27306	0,72	0,833
27308	0,79	0,76
27310	0,80	0,75
27312	0,70	0,86
27313	0,75	0,80
27315	0,83	0,73

**Сферичні кулькові
підшипники**

Легка серія діаметрів.

ø	d	D	B	r	C_r	e
1204	20	47	14	1,5	7,72	0,273
1206	30	62	16	1,5	12,2	0,244
1208	40	80	18	2,0	15,1	0,219
1210	50	90	20	2,0	17,7	0,214
1212	60	110	22	2,5	23,8	0,185
1214	70	125	24	2,5	27,0	0,179
1216	80	140	26	3,0	31,4	0,160

Значення коефіцієнтів X і Y в залежності від співвідношення осьового навантаження F_A і динамічної вантажопідйомності C_r .

ø	e	$F_A/F_r \leq e$		$F_A/F_r \geq e$	
		Y	X	Y	X
1204	0,27	2,31	1,0	3,57	0,65
1206	0,24	2,58		3,99	
1208	0,22	2,87		4,44	
1210	0,21	3,13		4,85	
1212	0,19	3,40		5,27	
1214	0,18	3,50		5,43	
1216	0,16	3,97		6,25	

Сферичні кулькові підшипники

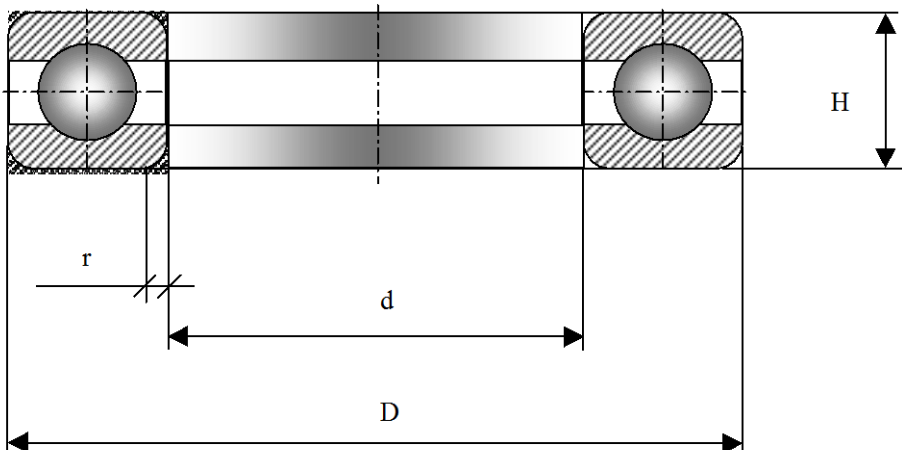
Середня серія діаметрів.

Значення коефіцієнтів Х і У в залежності від співвідношення осьового навантаження F_A і динамічної вантажопідйомності C_r .

ø	d	D	B	r	C_r	E
1304	20	52	15	2,0	9,76	0,29
1306	30	72	19	2,0	16,8	0,26
1308	40	90	23	2,5	23,3	0,23
1310	50	110	27	3,0	34,1	0,24
1312	60	130	31	3,5	45,8	0,23
1314	70	150	35	3,5	58,6	0,22

ø	e	$F_A/F_r \leq e$		$F_A/F_r \geq e$	
		Y	X	Y	X
1304	0,29	2,17		3,35	
1306	0,26	2,46	1,0	3,80	0,65
1308	0,23	2,61		4,05	
1310	0,24	2,68		4,14	
1312	0,23	2,80		4,33	
1314	0,22	2,81		4,35	
1315	0,22	2,84		4,39	

**Кулькові підшипники
упорні**



D - зовнішній діаметр; **d** - внутрішній діаметр; **H** - ширина підшипника; **r** - радіус закруглення; **₴** - умовне позначення підшипника; **C_r** - динамічна вантажопідйомність в кН.

Радіус тіл кочення **R = 0,125(D - d)**.

Легка серія діаметрів.

₴	D	D	H	r	C_r
8204	20	40	14	1,0	15,8
8205	25	47	15	1,0	20,4
8206	30	52	16	1,0	23,0
8207	35	62	18	1,5	31,6
8208	40	68	19	1,5	37,5
8209	45	73	20	1,5	39,5
8210	50	78	22	1,5	46,0
8211	55	90	25	1,5	56,6
8212	60	95	26	1,5	65,8
8213	65	100	27	1,5	65,8
8214	70	105	27	1,5	65,8
8215	75	110	27	1,5	68,4

РОЗДІЛ III

Організація
проектування
у середовищі
AutoCAD.

Організація розрахунків на міцність деталей машин

Наявність програмних комплексів інженерного аналізу дозволяє по-новому організувати проектні і перевірочні розрахунки деталей машин. Найбільше відомі комплекси - Pro-Ingeneer, COSMOS, ADAMS. Практично стандартом для комплексів інженерного аналізу є реалізація методу скінчених елементів, розв'язання задач тепlopровідності, моделювання кінематики і динаміки механізмів. Ідентична і будова пакетів - графічний предпроцесор із можливістю обміну даними з програмами CAD, власне процесор з розрахунків на міцність на базі скінчено-елементних моделей і постпроцесор, що вирішує завдання візуалізації, включаючи фотoreалістичну анімацію.

Відмінною рисою програмного продукту компанії MDI - ADAMS є наявність великої кількості спеціалізованих розрахункових модулів, адаптованих для різних галузей машинобудування. Всі модулі

можуть бути зібрані в єдиний комплекс. Моделюючий модуль ADAMS/View - це графічний пред- і постпроцесор. Він створює інтерактивне графічне середовище моделювання механічних систем і опрацювання результатів їхнього аналізу у вигляді графіків, таблиць і анімації. Робота з модулем не жадає від студента знайомства з новими поняттями в порівнянні з процесом створення й іспитів реальної фізичної моделі. ADAMS/View надає можливість створювати як одну модель, так і ціле сімейство виробів із перемінними конструктивними параметрами для параметричного аналізу або оптимізації за потрібним критерієм. Спеціалізований прикладний модуль ADAMS/Rail призначений для проектування й аналізу рейкового рухливого складу різних типів. Він дозволяє створювати моделі шляху, взаємодії колеса і рейки, колісних пар, віzkiv, корпусів транспортних засобів з автоматичним складанням у систему для проведення статичного, кінематичного,

динамічного аналізу руху. Модуль проектування й аналізу автомобільних підвісок ADAMS/Vehicle має бібліотеку стандартних підвісок, обчислювальний блок статичного і динамічного аналізу транспортних засобів, графічний постпроцесор для одержання графіків і таблиць стандартних промислових характеристик. Модуль ADAMS/Tire призначений для моделювання взаємодії колеса і дороги. Не мають аналогів серед інших програмних комплексів модулі: ADAMS/Driver - імітаційного моделювання дій водія щодо керування автомобілем; ADAMS/Android - реалістична динамічна модель людського тіла.

Дослідження напруженодеформованого стану і явищ втоми проводиться в процесі скінчено-елементного аналізу розрахунковому модулі ADAMS/Solver. Це основний модуль, що також формує і вирішує рівняння руху механічних систем, формує результати аналізу у вигляді, необхідному для постпроцесорного опрацювання засобами ADAMS/View. Розв'язок задач

скінчено-елементного аналізу є тематикою науково-дослідних студентських робіт.

Найбільшою мірою для розв'язання навчальних задач підходять пакет Mechanical Desktop, розроблений, як і AutoCAD фірмою Autodesk, та Mechsoft. Ці пакети інтегровані з AutoCAD і значно простіші, в них розрахунки базуються на відповідних стандартах.

Mechanical Desktop має спеціалізований CAD модуль для проектування деталей машин машинобудівного призначення. Він дозволяє в діалоговому режимі проектувати різьбові з'єднання і створювати кругові і прямокутні масиви кріпильних елементів. Реалізовано проектування зварних конструкцій із стандартних профілів. Mechanical Desktop містить усі необхідні інструменти для проектування деталей на зразок тіл обертання з урахуванням реальної технології виготовлення (Рис.3.1). Тіла обертання можуть складатися з циліндричних, конусних, шліцьових, зубчастих та ін-

ших елементів (Рис.3.1а). Проектування можливо як у покроковому режимі - із послідовним додаванням необхідних елементів тіла обертання, так і в режимі доповнень і змін. Формуються автоматично технологічні (канавка для виходу інструмента) і конструктивні (мастильні отвори, стопорні і ущільнюю-

вальні кільця, шпонки і шпонкові пази) елементи. Найбільш вдало реалізовані інженерні розрахунки деталей машин. Так, на основі розрахункової схеми вала, у якій зазначені прикладені сили і моменти, а також розташування опор, визначаються: поперечні сили, згинаючі моменти (б), прогин валу (Рис.3.1б).

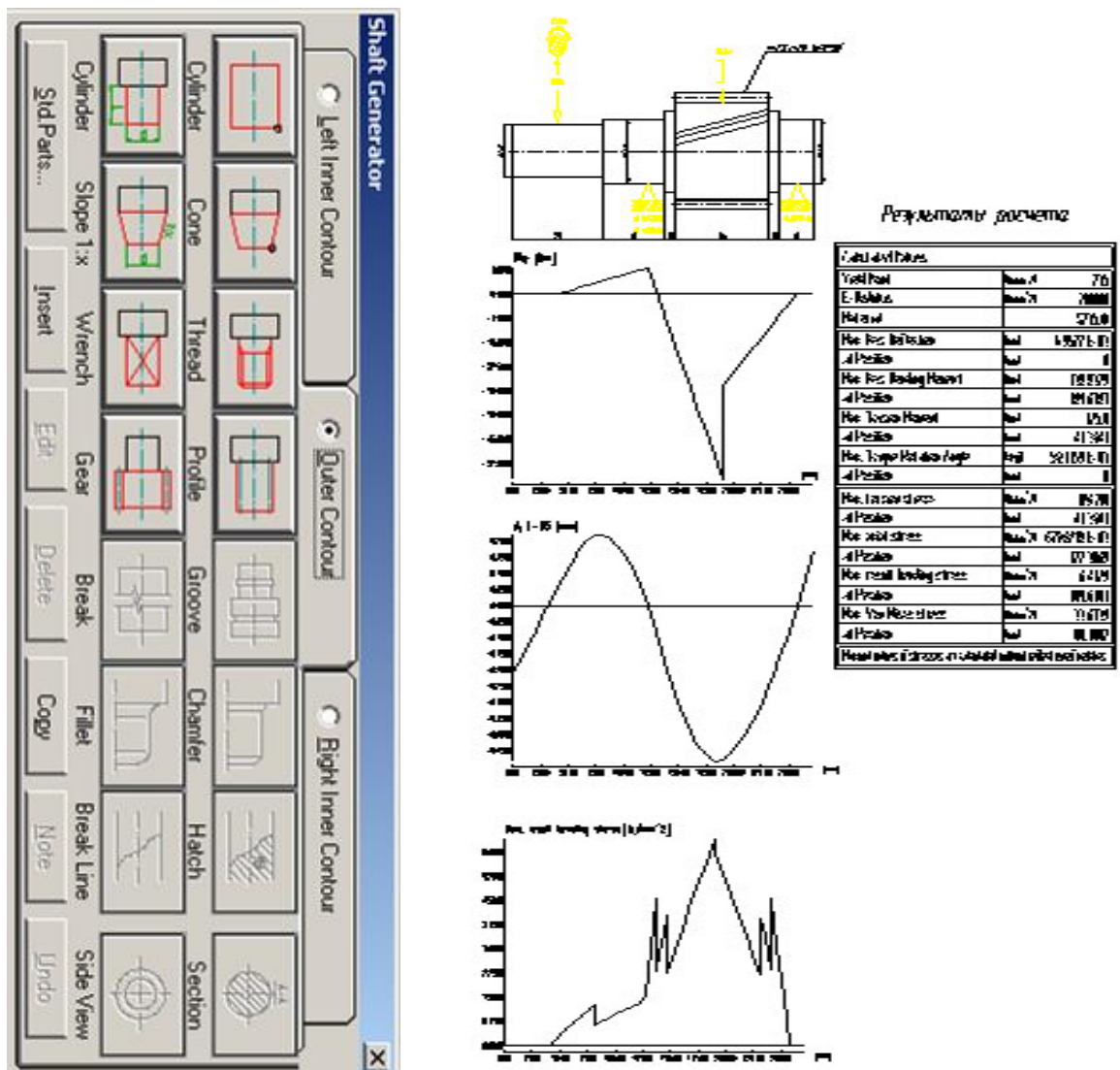
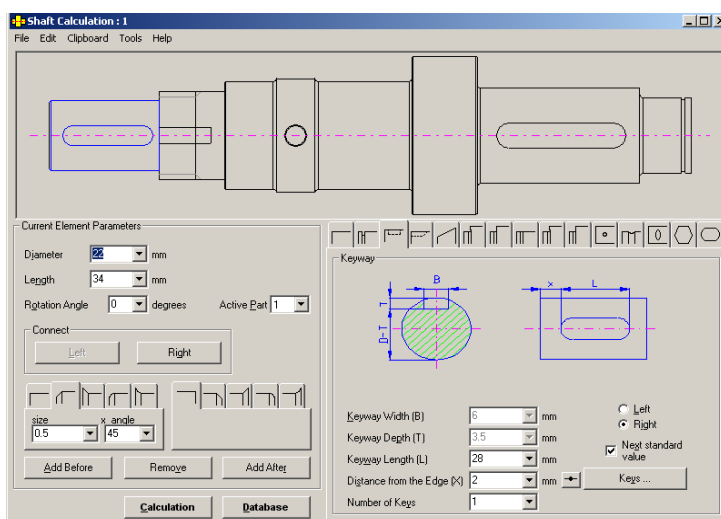


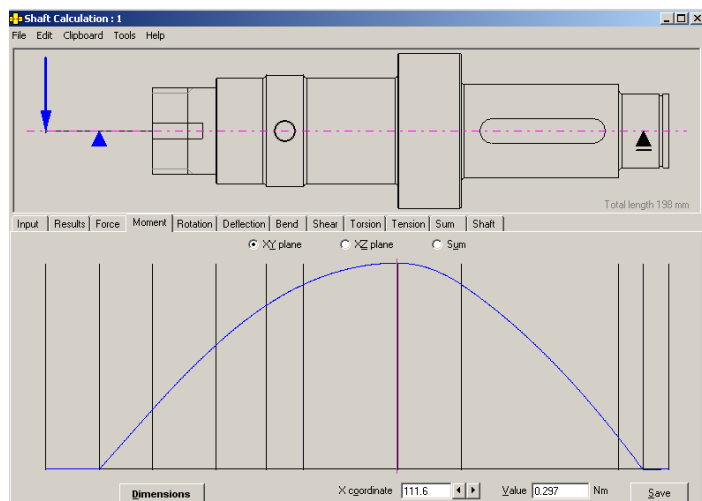
Рис. 3.1

Аналогічний модуль реалізований у програмному комплексі Mechsoft (Рис. 3.2). Найбільш докладно опрацьовані питання проектування фа-

сок, шпонкових пазів, канавок для виходу інструменту і під кільця ущільнюючі і фіксуючі.



а



б

Рис. 3.2

Розрахунок зубчастої передачі ведеться на основі даних кінематичного аналізу приводу. Результатами розра-

хунку є: геометричні характеристики зубчастої передачі; дані для контролю точності; напруги фактичні і припустимі як при розрахунку

контактної і згинальної витривалості зубів, так і при розрахунку зубів на дію пікового навантаження (Рис.3.3).

Система HELP дозволяє вивчати методику розрахунку зубчастих передач по стандартах

ISO, DIN, ДЕРЖСТАНДАРТ. Відмінна риса розрахункового модуля зубчастих передач – можливість порівняльного аналізу результатів розрахунку за різними стандартами (Рис.3.4).

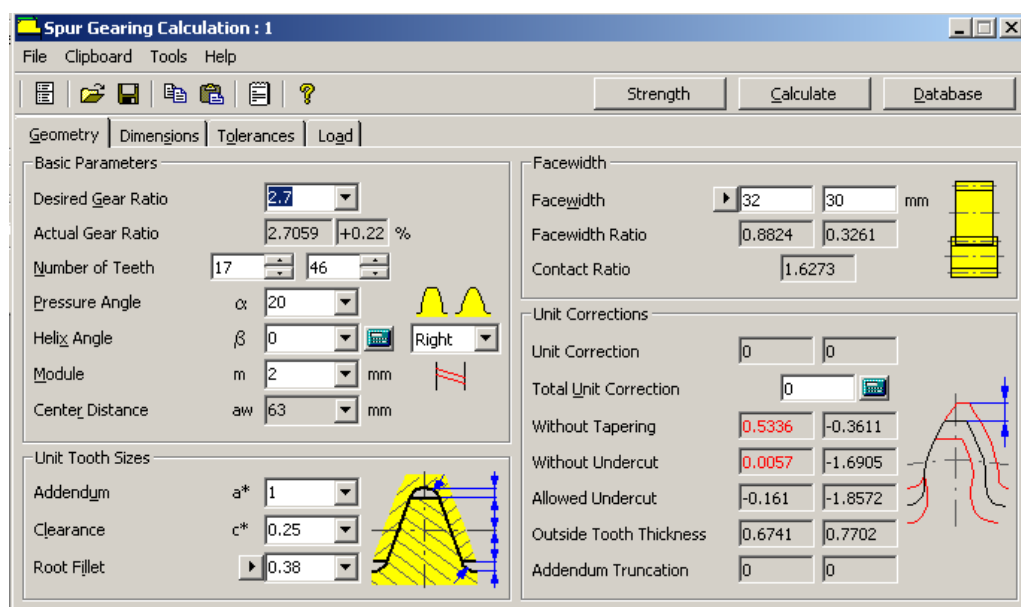


Рис.3.3

Strength Calculation according to CSN 01 4686, ISO 6336 and DIN 3990

Selection of strength calculation type is done in the [Guide Dialog Box](#).

Strength calculation dialog box is displayed after clicking the **Strength** button in the [Main Dialog Box](#).

The strength calculation is also based on the fixed-end beam calculation and it contains many factors for including the majority of effects.



Note: The calculation is only accessible for metric units.

Safety factor of contact fatigue

$$S_{H1,2} = \frac{\sigma_{H\text{lim}1,2} \cdot Z_{N1,2} \cdot Z_L \cdot Z_R \cdot Z_v}{Z_E \cdot Z_H \cdot Z_{B1,2} \cdot Z_s \cdot \sqrt{\frac{F_t \cdot K_H \cdot u + 1}{b_w \cdot d_1 \cdot u}}}$$

where:

Safety factor in contact during one-time loading

$$S_{H\text{st}1,2} = \frac{\sigma_{H\text{Pmax}1,2}}{Z_E \cdot Z_H \cdot Z_{B1,2} \cdot Z_s \cdot \sqrt{\frac{F_t \cdot K_H \cdot K_{AS} \cdot u + 1}{b_w \cdot d_1 \cdot u}}}$$

Рис.3.4

Вихідні дані для розрахунку на міцність зубчастих передач можуть бути підготовлені в Mechanical Desktop 4.0. У модулі, що реалізує автоматизоване проектування валів (shaft generator), виконується геометричний розрахунок зубчастого зачеплен-

ня (Рис.3.5). На основі знайдених параметрів зачеплення автоматично промальовується зубчасте колесо або вал-шестерня. За цими даними і крутильним моментом розраховуються зусилля в зачепленні.

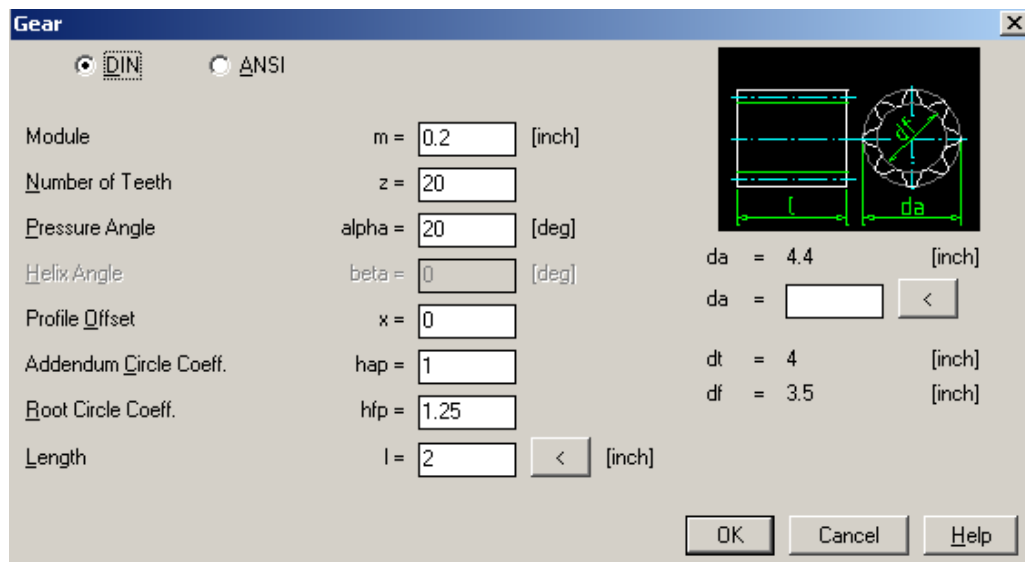


Рис. 3.5

Через різноманітність конічних передач їхні розрахунки стандартизовані у меншій мірі, ніж передач циліндричних. До стандартного пакету постачання модуль розрахунку конічних передач звичайно не входить. Виняток становить пакет MECHSOFT, у якому передбачено розрахунок геометричний і на міцність конічних передач із прямыми і круговими зубами у відповідності до стандартів ANSI, DIN, ISO і ін. Як вихідні дані можуть бути задані передана потужність і частота обертання, крутильний момент і частота обертання або потужність і крутильний момент. Також задаються геометричні параметри передачі: числа зубів; кут профілю;

середній кут нахилу зубів; кут між осями коліс; напрямок зубів; коефіцієнт висоти голівки зуба; коефіцієнт радіального зазору; коефіцієнт радіусу кривизни ніжки зуба. Програма розраховує необхідний для заданих вихідних даних модуль передачі, при необхідності уточнюються геометричні параметри. Є можливість розрахунку передачі з урахуванням коефіцієнтів корекції профілю і тангенціального зсуву.

Програма розрахунку конічних передач включає чотири блоки, кожний із них графічно поданий у вигляді за кладини. Перший, розглянутий вище, блок (Geometry) задає вихідні геометричні параметри передачі. При зміні будь-

якого з параметрів після натискання кнопки «Calculate» у правому верхньому куту відбувається автоматичне відновлення змісту інших трьох закладин. У закладці Dimensions подані геометричні параметри передачі. У прикладі розміри за-значені в дюймах, тому що розрахунок ведеться за стандартом ANSI (Рис. 3.6). Відповідно до зазначеного стандарту визначаються зовнішня і середня конусні відстані; діаметри вершин, западин і ділильний на зов-

нішньому торці зуба; товщина і висота зуба на зовнішньому торці; еквівалентне і біек-вівалентне число зубів; діаметр виступів на внутрішньому торці і ділильний діаметр у середньому перетині; половина кута при вершині ділильного конусу; монтажні дистанції в різних перетинах і ряд інших (див. рис. 3.6). Зазначені параметри розраховуються для шестерні і колеса і дозволяють безпосередньо визначити відповідність розмірів коліс обраної конструкції приводу (Рис. 3.5).

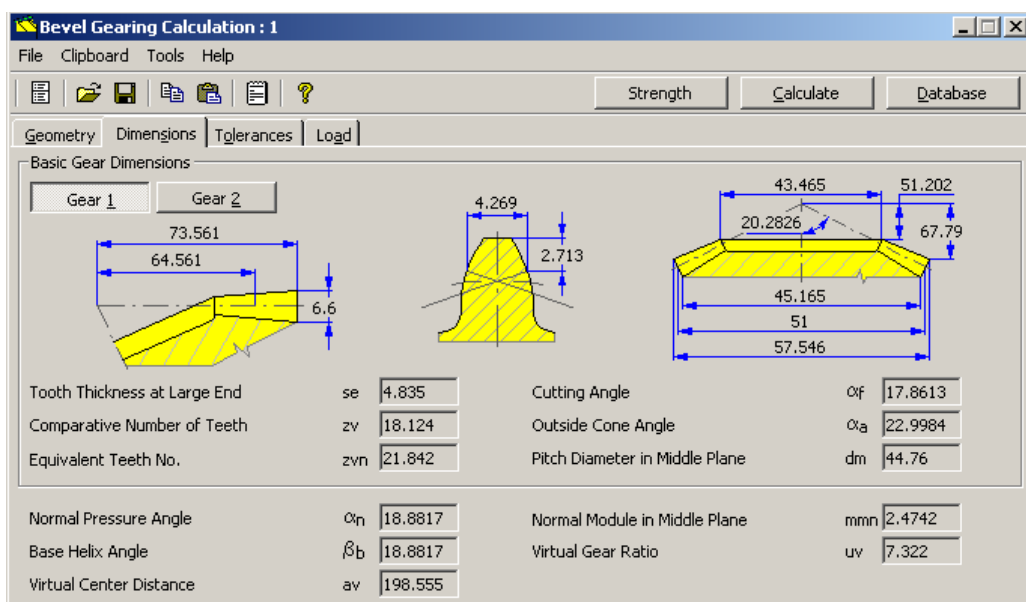


Рис. 3.6

У закладці Tolerances задається один параметр – точність передачі. Можливий

розрахунок передач від 5 до 9 ступеня точності. За обраним ступенем точності і ста-

нтарту (у прикладі це ANSI) програма демонструє параметри, що характеризують точність передачі. У зазначеному прикладі це: граничні відхилення кута нахилу, осьового корекції і неспівсності; максимальне биття; граничні відхилення кроку осьового і за зовнішнім основним конусом.

У закладці Load розраховуються нормальні й окружне зусилля, а також радиальна й осьова складові, діючі на шестерню і колесо (Рис. 3.7). Цікаво, що в стандартному розрахунку по ANSI визначається частота обертання, при якій настає резонанс (див. рис. 3.7).

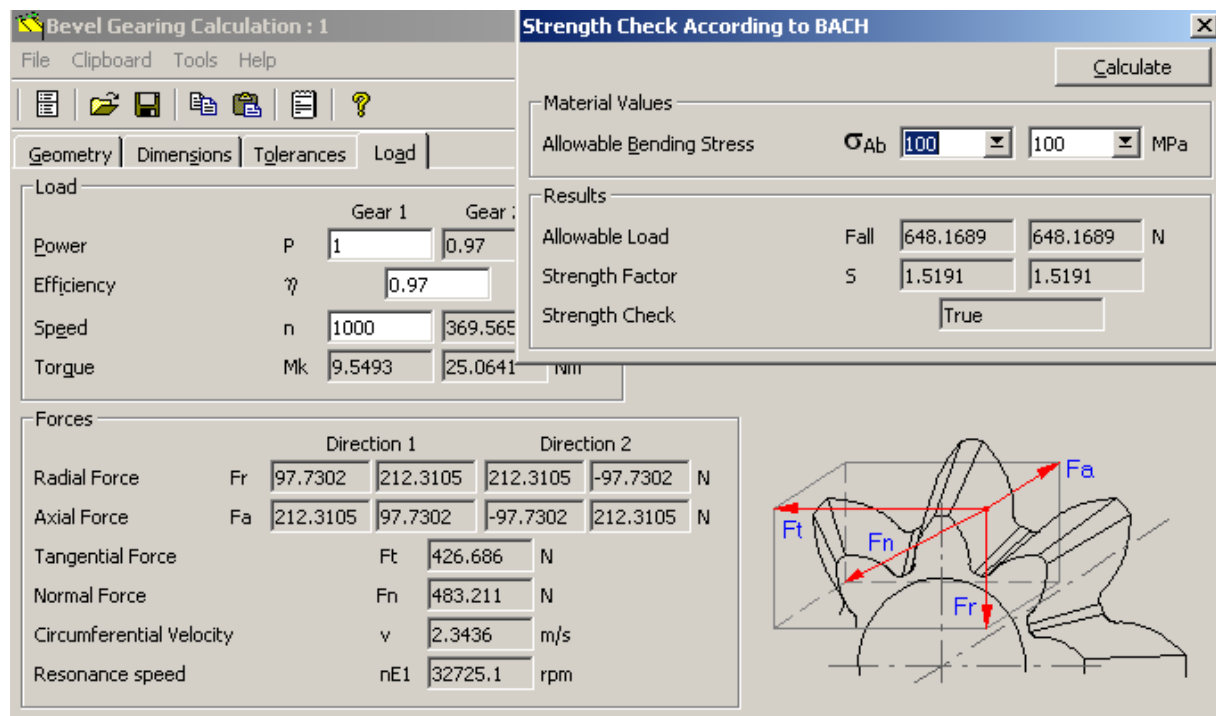


Рис. 3.7

Кнопка Database дає доступ до бази даних, по яких проводиться розрахунок передачі. Поряд із стандартними параметрами, там містяться довідкові дані, до яких можна внести корективи, напри-

клад, змінити коефіцієнт корисної дії передачі.

Кнопка Strength (див. рис. 3.7) дає доступ до бази даних по властивостях матеріалу, із яких виготовлена передача. Структура залежно-

стей за визначенням припустимих контактних і згинальних напруг відповідає обраному стандарту, деякі параметри можуть бути змінені, наприклад, коефіцієнт безпеки.

Пакет Mechanical Desktop 4.0 містить модуль, що реалізує автоматизоване проектування ланцюгових і зубчасторемінних передач (chains /bells). Є бібліотека ланцюгів у відповідності зі стандартами ISO і DIN, а також стандартні елементи

зірочок (Рис.3.8). За обраним ланцюгом, числом зубів зірочки, числом зубів, які зображуються, і діаметром валу автоматично вимальовується зірочка. Є можливість вимальовування ланцюгової передачі з зображенням конфігурації заданої кількості ланок ланцюга. Навантажувальна спроможність передачі відповідає обраному ланцюгу. Після вимальовування передачі автоматично прораховується довжина ланцюга.

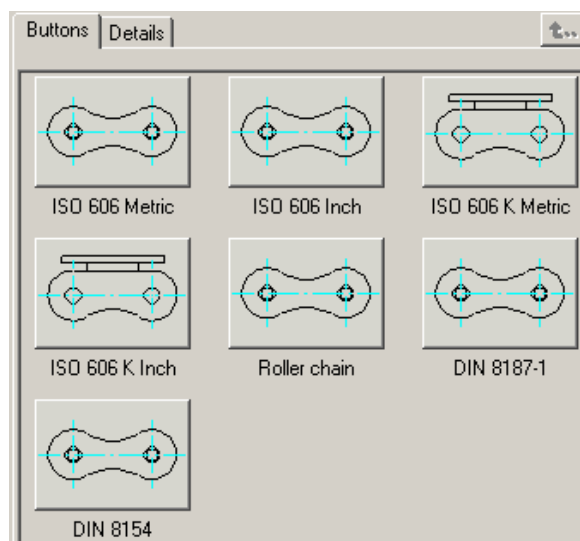


Рис. 3.8

Аналогічний модуль реалізований у програмному комплексі MECHSOFT. Є можливість розрахунку втулково-

роликових ланцюгів, клиноремінних і зубчаторемінних передач (Рис. 3.9).

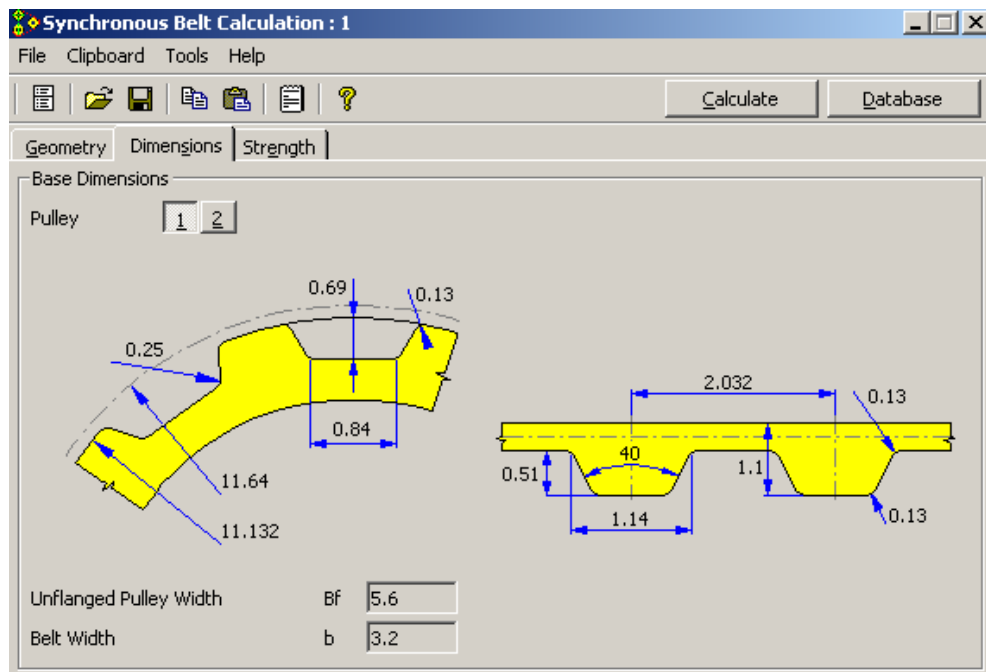


Рис. 3.9

Пакет Mechanical Desktop 4.0 містить модуль, що реалізує автоматизоване проектування підшипників (Рис. 3.10). Для даного ти-

порозміру підшипника за зadanim радіальним й осьовим навантаженням визначається довговічність підшипника.

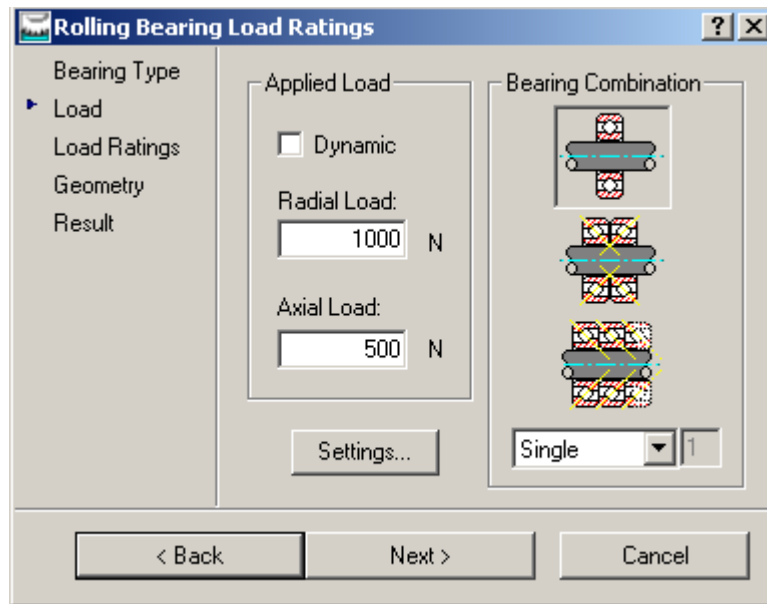


Рис. 3.10

Аналогічний модуль динамічного навантаження. реалізований у програмному комплексі Mechsoft (Рис. 3.11). Розрахунок, реалізований у комплексі Mechsoft, виконується з урахуванням Поряд із розрахунком довговічності визначаються втрати на тертя і вказується мінімально припустиме навантаження на підшипник.

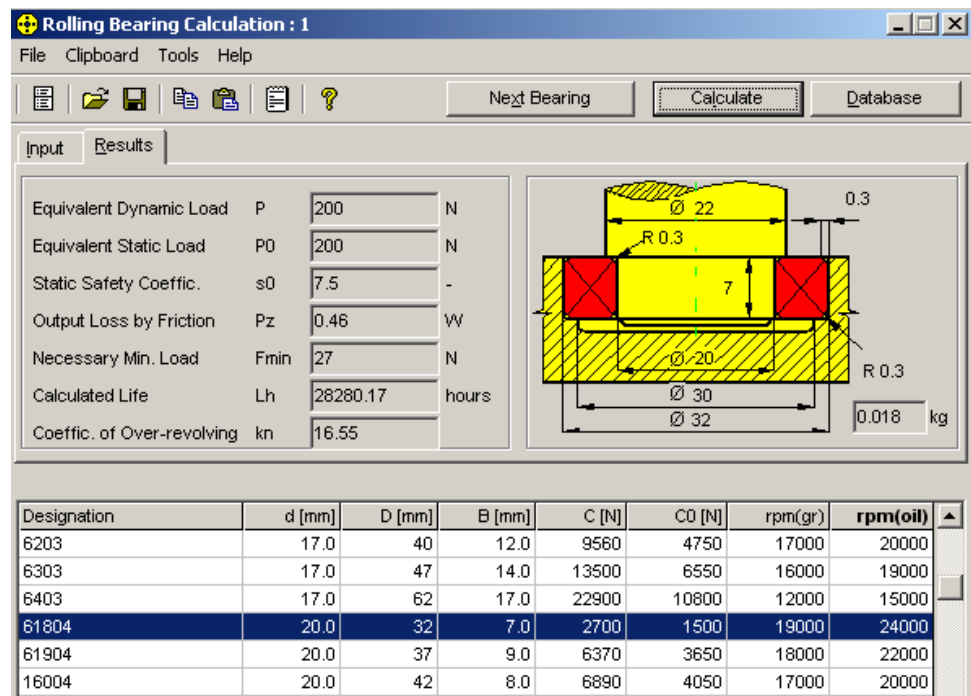


Рис. 3.11

Рекомендації щодо розробки креслень у середовищі AutoCAD

З множини способів розробки креслень із використанням AutoCAD пропонується методика, що максимально наближена до ручного креслення, як найбільш проста і доступна. Створення креслення в середовищі AutoCAD можна розбити на два етапи: підготовчий етап і власне креслення.

На першому підготовчому етапі необхідно:

- задати формат креслення, наприклад A1:

Command: LIMITS
ON/OFF/<Lower left corner> <0.0000, 0.0000>

Upper right corner
<841,594>

- задати прив'язку графічного маркера до вузлів сітки, наприклад із кроком 1мм:

Command: SNAP
Snap spacing or On/Off/
Aspect/Rotate/ Style: 1

- установити режим виводу на екран координатної сітки, наприклад із кроком 5мм:

Command: GRID

Grid spacing(X) or
On/Off/Snap/ Aspect<0.000>:5

- здійснити призначення шарів.

Шари - найважливіший інструмент логічної організації креслень AutoCAD. Використання шарів дозволяє створювати креслення по шарах, у яких об'єднані різні групи взаємозалежних елементів - наприклад, текстові примітки на одному шарі, а розміри - на іншому. Практика спілкування із шарами і їхніми найменуваннями дуже важлива, оскільки креслення, виконані в AutoCAD різними користувачами, не будуть взаємно погодженими, якщо їхні розробники не притримуються єдиної схеми використання шарів і призначення їхніх імен. Стратегія розбики креслення на шари особливо важлива у версіях AutoCAD починаючи з AutoCAD 2000, оскільки з'явилася можливість призначення шарам нових атрибутив - ширини лінії і стилів друку. Крім того, тепер легко задавати, можливість друку визначеного шару. Всі ці засоби простіше

застосовувати при єдиній системі організації поділу креслення по шарах.

У курсовому проектуванні деталей машин рекомендується наступна схема поділу креслення на шари:

1. Геометрія - шар, що містить основні лінії креслення. Тип лінії - Continuous (Безупинна), коліор - червоний.

2. Тонка - шар, що містить тонкі лінії креслення (штрихову, різьблення і т.д.) Тип лінії - Continuous (Безупинна), колір - блакитний.

3. Осі - шар, що містить осьові лінії креслення, тип лінії - CENTER, але можна використовувати і DASHDOT, колір - зелений.

4. Розміри - шар для постановки розмірів і текстових приміток. Тип лінії - Continuous (Безупинна), колір - білий.

5. Штамп - слой, що містить форму для заповнення основного напису креслення по ДЕРЖСТАНДАРТ.

6. Службовий - шар для тимчасових побудов, не виведений на плоттер.

Крім зазначених вище шарів можуть бути використані будь-які інші, необхідні для роботи над конкретним проектом. Для створення шарів використовується діалогове вікно Layer Properties Manager.

Command: Layer
Або вибрати Format - Layer. Відчиниться діалогове вікно Layer Properties Manager (Менеджер властивостей шару) Вікно «Менеджер» властивостей шару може бути відкрито, крім того, і щигликом по кнопці Laeyrs (Шари) панелі інструментів Object Properties (Властивості об'єктів).

Для створення нового шару, наприклад «Геометрія» кладніть на кнопці New (Новий) і в колонку Name (Ім'я) введіть ім'я шару, у даному випадку «Геометрія». У інших колонках списку шару відображаються властивості нового шару по умовчанню. Він одержить по умовчанню стан On (Увімкнути), Color (Колір) - White (Білий) і Linetype (Тип лінії) - Continuous (Безупинна). Зміните колір шару на червоний

щигликом на піктограмі Color (Колір), зробивши відповідний вибір. Аналогічним способом можна створити інші шари. При створенні шару «Оси» для завантаження типу лінії Center клацніть на осередку колонки Linetype. Відчиниться діалогове вікно Select Linetype (Вибір типу лінії). Зазначте необхідний тип лінії в списку Loaded Linetypes (Завантажені типи ліній). Якщо необхідного типу лінії немає в списку, його необхідно завантажити. Клацніть на кнопці Load (Завантажити) і виберіть із списку потрібний тип лінії. Цей тип лінії буде встановлений для всіх об'єктів шару, що зараз настроюється.

Для визначення ширини лінії клацніть на стовпці

Lineweight (Ширина лінії) і виберіть необхідну ширину лінії. Якщо шар не повинний виводитися на друк будучи включеним і не замороженим, клацніть на піктограмі Plot (Ознака друку), щоб включити режим друку або відключити його.

Після створення всіх необхідних шарів клацніть на кнопці OK, щоб покинути діалогове вікно Менеджер властивостей шару.

На рис.3.12 зображене діалогове вікно «Менеджер» властивостей шару, у якому створені шари «Геометрія», «Оси», «Розміри», «Тонка», «Штамп» і «Службовий» із відповідними кольорами і типами ліній і режимами преси.

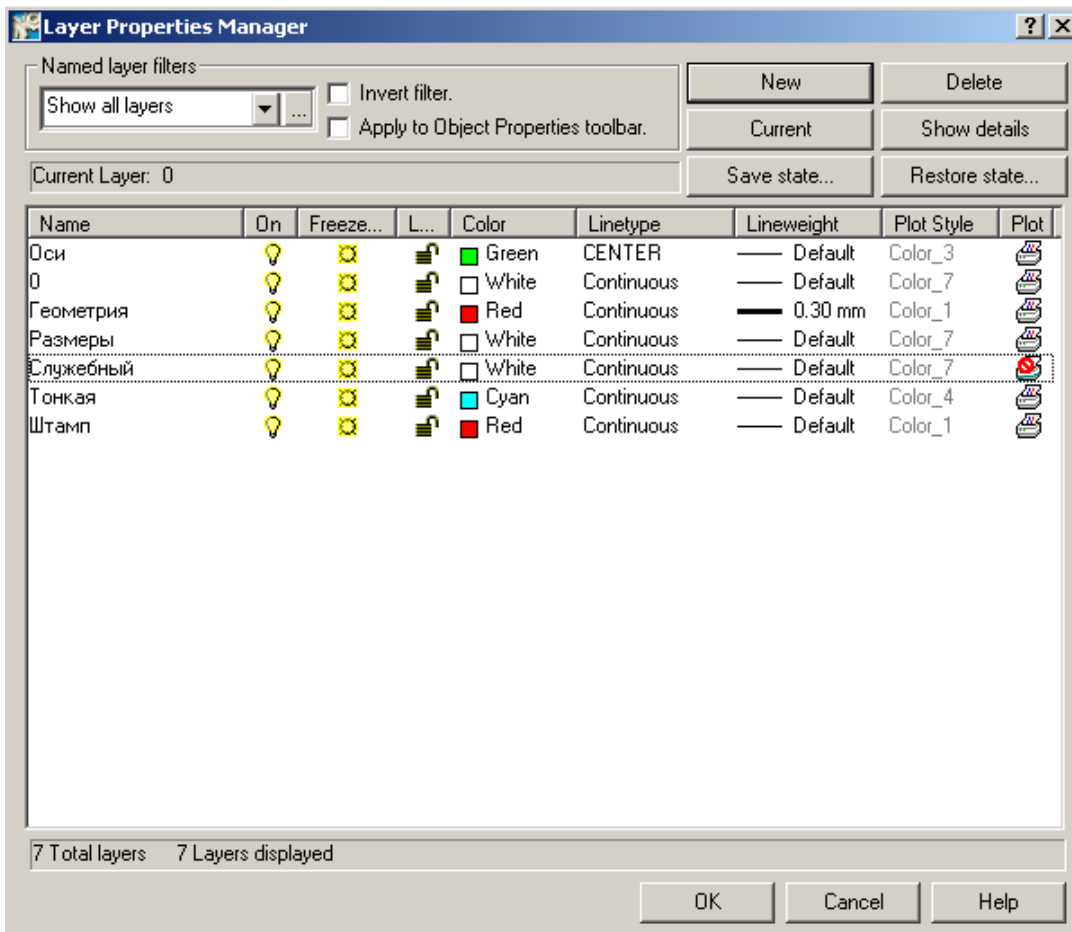


Рис.3.12

Другий етап припускає власне креслення. При виконанні другого етапу проводиться креслення графічної частини проекту відповідно до завдання на курсове проектування.

Рекомендації по виконанню другого етапу роботи.

Текстові стилі креслення

Написи на кресленнях виконуються по ДЕРЖСТАНДАРТ 2.304-81, що встановлює креслення прописних і малих літер для російських, латинських, грецького алфавітів,

арабських і римських цифр. Висота h прописних літер у міліметрах визначає розмір шрифту. Товщина d ліній шрифту залежить від типу і висоти шрифту.

ДЕРЖСТАНДАРТ встановлює наступні розміри креслярських шрифтів: 2,5; 3,5; 5; 7; 10; 14; 20 типів А і Б.

Тип А (шрифт без нахилу ($d=1/14h$) ;

Тип А (шрифт із нахилом 75 ($d=1/14h$) ;

Тип Б (шрифт без нахилу ($d=1/10h$) ;

Тип Б – шрифт із нахилом 75 (d=1/10h).

Всі параметри шрифтів за-
значені в ДЕРЖСТАНДАРТ
2.304-81.

У графічній системі текст розглядається, як графічний примітив і може бути виконаний різними текстовими шрифтами, що є в програмному забезпеченні системи AutoCAD і складають бібліотеку стандартних текстових шрифтів.

Текстовий стиль – це набір параметрів (властивостей), застосованих при створенні текстових об'єктів. Текстовий стиль надає можливість настроїти різні параметри тексту, управляти його зовнішнім виглядом у межах одного креслення і всього проекту. По умовчанню нове креслення AutoCAD відчиняється з єдиним попередньо встановленим текстовим стилем – STANDART.

Для створення нового або редагування існуючого текстового стилю необхідно виконати наступні дії:

1. Command: Style або меню Format – Text Style. Відчиниться діалогове вікно Text

Style (Текстові сти-
лі).

2. Для редагування існуючого стилю виберіть його в списку, що розкривається; а щоб створити новий стиль, кладніть на кнопці New (Новий) і введіть найменування стилю, наприклад Російський.
3. Виберіть у списку, що розкривається, Font Name (Найменування шрифту) ім'я необхідного шрифту. Рекомендується для написів на поле креслення застосувати шрифт Romans.shx.
4. У текстовому вікні Height (Висота) уведіть значення висоти тексту – 3.5.
5. Зазначте, які додаткові ефекти ви хочете застосовувати:
Upside down (Перевернений), Backwards (Справа ліворуч), Vertical (Вертикальний),
Width factor (Ступінь стиску/розширення),
Oblique angle (Кут нахилу).

Тому що креслярські шрифти повинні бути виконані з нахилом літер і цифр до підстави рядка біля 75° , кут нахилу варто установити 15° .

Найменування, заголовки, позначення в основному написі і на поле креслення допускається писати без нахилу.

6. Завершивши вибір опцій, кладніть на кнопці *Apply* (Застосував-

ти) . Буде створений текстовий стиль із заданими параметрами або відредактований існуючий.

На Рис.3.13 показане діалогове вікно «Текстового» стилю, у якому створений стиль “Росіянин”, шрифт Romans.shx, висотою 3.5 мм із кутом нахилу 15° .

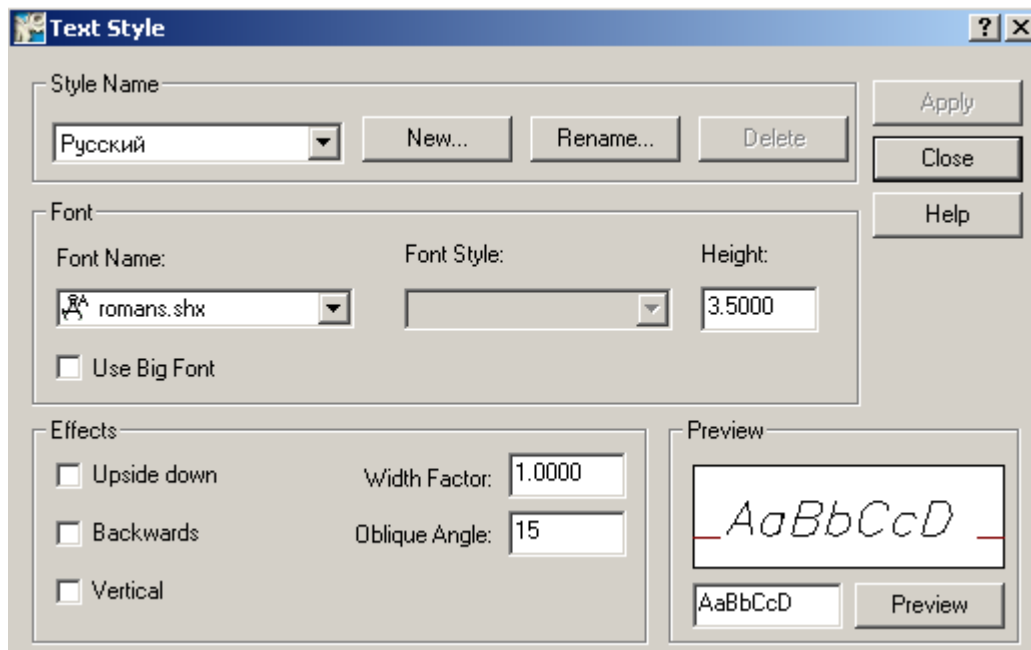


Рис.3.13

Розмірні стилі креслення.

Установка розмірних стилів креслення по-

биться за допомогою Менеджера розмірних стилів (Dimension Style Manager).

- a) Command: вого вікна New Dimstyle або меню Format- Dimension Style.
- Відчиниться діалогове вікно Dimension Style Manager.
- б) Клацніть на кнопці New (Новий) щоб створити новий розмірний стиль.
- Відчиниться діалогове вікно Create New Dimension Style (Створення нового розмірного стилю)
1. Введіть у вікні редагування New Style Name найменування нового стилю і клацніть на кнопці Continue (Продовжити)

Відчиниться діалогове вікно New Dimension Style (Новий розмірний стиль)

 2. Внесіть необхідні зміни параметрів на всіх шести закладаннях діалого-
3. Клацніть на кнопці OK, щоб закрити діалогове вікно New Dimension Style.
4. Виберіть новий розмірний стиль у списку стилів, а потім клацніть на кнопці Set Current (Установити поточним).
- Розмірний стиль стане поточним, і AutoCAD буде використовувати його при побудові нових розмірних об'єктів.
- Використання єдиних стандартів пошарової організації креслення, уніфікованих текстових і розмірних стилів значно підвищує якість проектної документації, полегшує перевірку кресень і обмін кресленнями між різними розроблювачами.

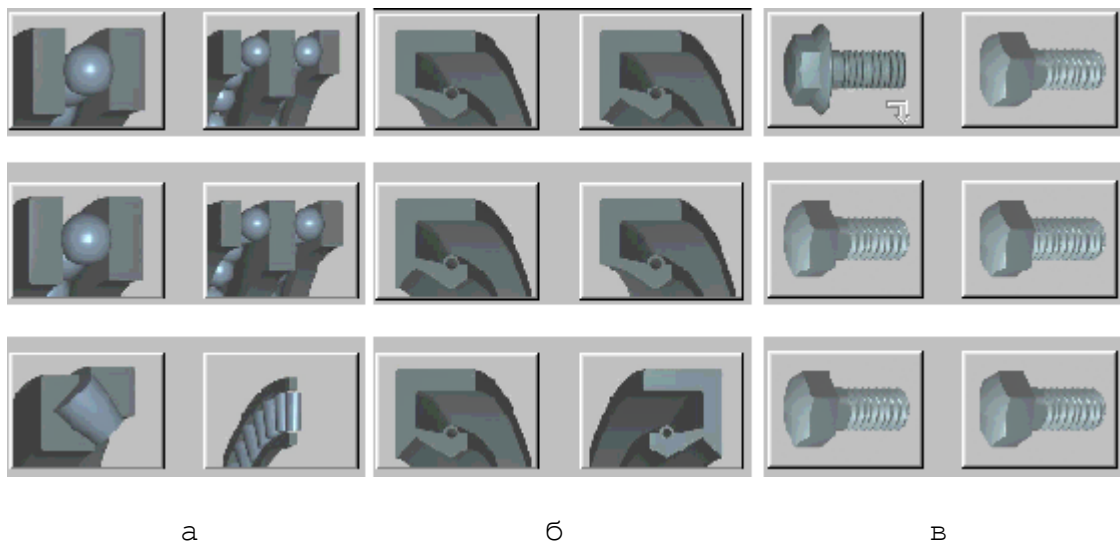
Рекомендації щодо організації проектування

Особливістю проектування з використанням AutoCAD є простота внесення змін до креслення і можливість копіювання деталей і вузлів з одного креслення в інше, що дозволяє опрацювати велику кількість варіантів конструкцій.

Найбільшою мірою на габарити приводу впливає вибір числа обертів електродвигуна і розбивка передатного числа редуктору. В атласі наведені формулі для раціонального вибору передатних чисел ступенів редуктору. Остаточний варіант передатних чисел швидкохідного і тихохідного ступеня може бути встановлений після вимальовування ряду варіантів компонування, що дозволяє визначити габарити редуктора, перевірити наявність необхідного зазору між окружностями виступів коліс і по-

верхнею валом і можливість розміщення підшипників.

Опрацьовуючи конструкцію редуктору, студенти використовують бібліотеку стандартних елементів у форматі .dwg, розроблених кафедрою ТМіМ ОНПУ та наведених у програмному комплексу Mechanical Desktop. Це підшипники (а), кришки підшипників, ущільнення (б), кріпильні вироби (в), а також маслопокажчики, віддушини, маслозливні пробки, шпонки і установчі штифти (Рис 3.14). При проектуванні приводу використовується бібліотека креслень асинхронних електродвигунів серії АО. Розробка і креслення зварної рами спрощується за рахунок використання бібліотеки стандартних профілів прокату. Скорочення часу розробки креслень загального вигляду приводу дозволяє опрацювати низку варіантів і вибрati оптимальний щодо габаритів і маси зварної рами, приводу (Рис. 3.15).



а

б

в

Рис. 3.14

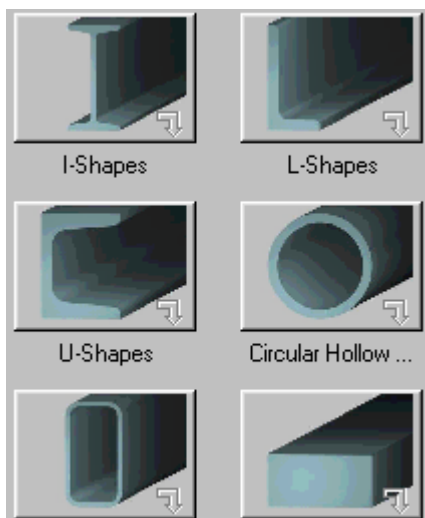


Рис. 3.15

Креслення деталей ведеться на основі зразків креслень. Всі запропоновані варіанти редукторів постачені бібліотекою можливих конструкцій зубчастих коліс і валів. Розроблено зразки оформлення технічної документації; параметрів зубчастого і черв'яч-

ного зачеплення, технічних вимог до деталей.

AutoCAD дає значні можливості для візуалізації деталей. Зубчасті колеса і валі запропоновані у якості зразкових креслень, розроблені як 3D моделі (Рис.3.16). Це дозволяє студентам краще уявляти собі спроектований привод.

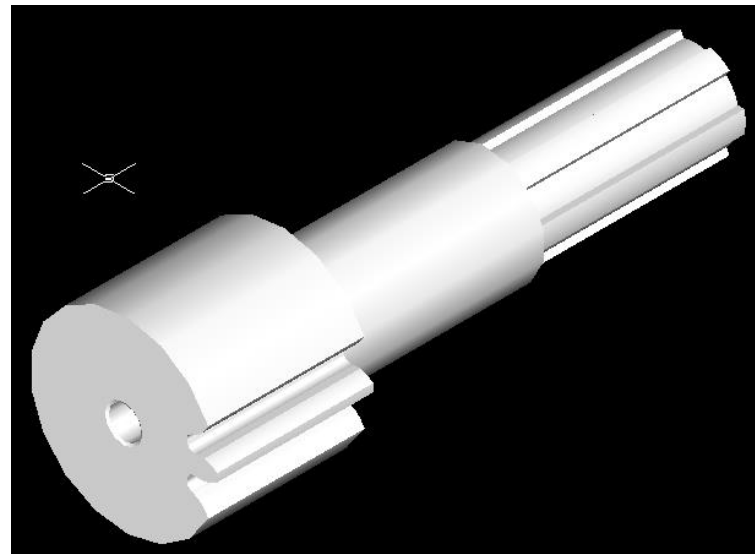


Рис. 3.16

РОЗДІЛ IV

Приклади

виконання

загального

вигляду зуб-

частих редук-

торів

РОЗДІЛ V

Приклади

виконання

робочих

креслень

типових де-

талей приводу

СПИСОК ЛИТЕРАТУРЫ

1. Атлас. Курсовое проектирование по деталям машин с использованием AutoCAD /Б.В. Мотулько, В.В Иванов, А.М. Харсун. – Одесса: Астропринт, 2002.
2. Детали машин: Атлас конструкций /Под ред. Д.Н.Решетова. – М.: Машиностроение, 1979.
3. Дунаев П.Ф., Леликов О.П. Конструирование узлов и деталей машин. – М.: Высш. шк., 1985.
4. Дунаев П.Ф., Леликов О.П. Детали машин: Курсовое проектирование. – М.: Высш. шк., 1984.
5. Курсовое проектирование деталей машин / В.Н. Кудрявцев и др. – Л.: Машиностроение, Ленингр. отд- ние, 1984.
6. Курсовое проектирование деталей машин / С.А.Чернавский и др. – М.: Машиностроение, 1987.
7. Заблонський К.І. Деталі машин. – Одеса: Астропринт, 1999.
8. Иванов В.В., Мотулько Б.В., Харсун А.М. Автоматизация проектирования механических приводов. – Одесса: АО БАХВА, 2003.
9. Іванов В.В. Конспект лекцій з дисципліни «Деталі машин». – Одеса ОДПУ 2000.
10. Иванов М.Н., Иванов В.Н. Детали машин: Курсовое проектирование. – М.: Высш. шк., 1975.